

del Código Modelo Sismico para América Latina y El Caribe

Clasificación de sitios, Geotecnia y Geofísica

Francisco Ruz Vukasovic **RyV Ingenieros**

San Salvador, El Salvador 9 de octubre de 2025

www.codigomodelosismico.org









Itinerario



- Introduccion a la Geotecnia
- Importancia de la Geofisica en la Geotecnia
- Cambio normativo
- Casos practicos
- Dificultades en terreno



Introduccion a la geotecnia

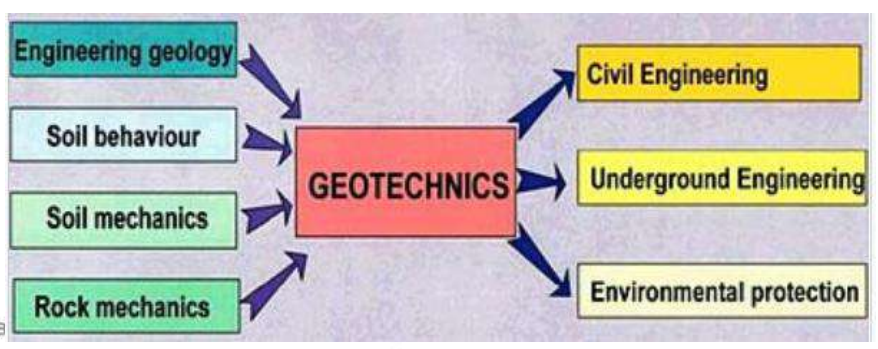


Geotecnia

Rama de la ingeniería civil que estudia el comportamiento estático y dinámico de la zona superficial de la corteza terrestre bajo la acción de esfuerzos y/o la acción del agua

Mecánica de suelos

Parte de la geotecnia que estudia el comportamiento estático y dinámico de un depósito de suelo bajo la acción de esfuerzos y/o la acción del agua



Introduccion a la geotecnia



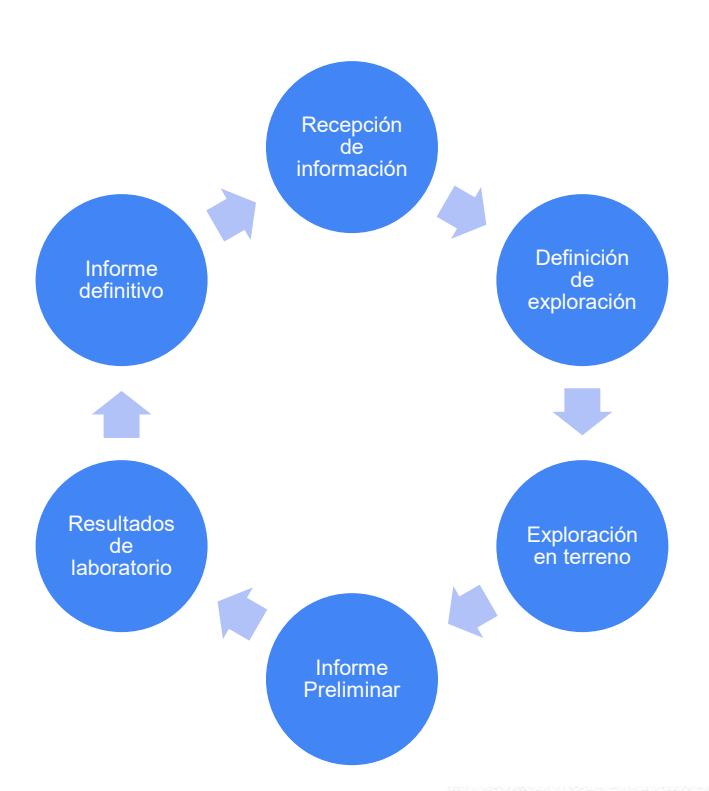
Estudio de Mecánica de suelos

Su objetivo es determinar el comportamiento esperado del subsuelo por la acción de los esfuerzos producidos por una obra, ya sea una estructura, una excavación, un movimiento de tierra, un túnel, etc. y por la acción del agua y/o cargas dinámicas. Incluye la determinación de los parámetros del subsuelo para el diseño de la obra con un nivel de seguridad adecuado para evitar el deterioro o falla durante su vida útil.

Adicionalmente, cuando corresponda, debe proporcionar la clasificación sísmica del sitio de emplazamiento de la obra.

Proceso para un estudio de Mecánica de suelos





Informe preliminar app 7 días terminado la exploración

Informe definitivo app 45 días terminado la exploración

Estudios especiales dependen de los distintos estudios a realizar (hidrogeologico, riesgo sismico, etc)

Términos y definiciones



• Emploratación o Prospección

Envæstigaióión realizedante or métolitos minvasies, o quecánipo edepara ser exploración talebsubsore lo métodos no invasivos del subsuelo con fines geotécnicos. Habitualmente incluye la obtención de muestras del subsuelo

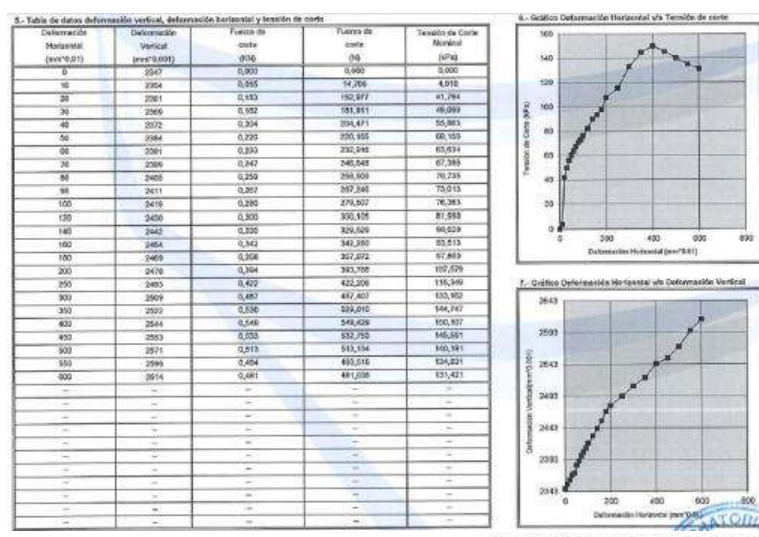


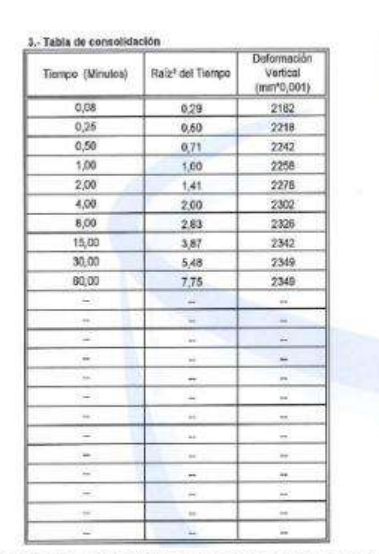
Términos y definiciones

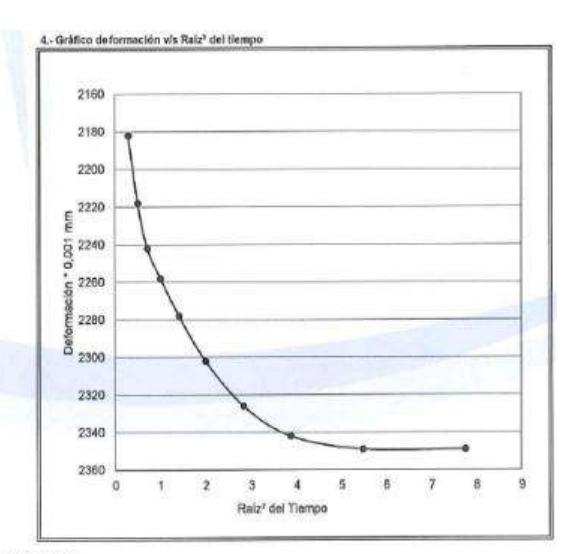


Ensayo de Laboratorio

Documento que contiene los resultados de los ensayos y mediciones de terreno y/o laboratorio sobre muestras de suelo y/o roca, conforme a las normas pertinentes

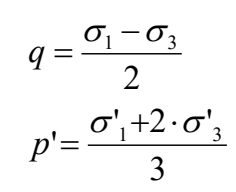




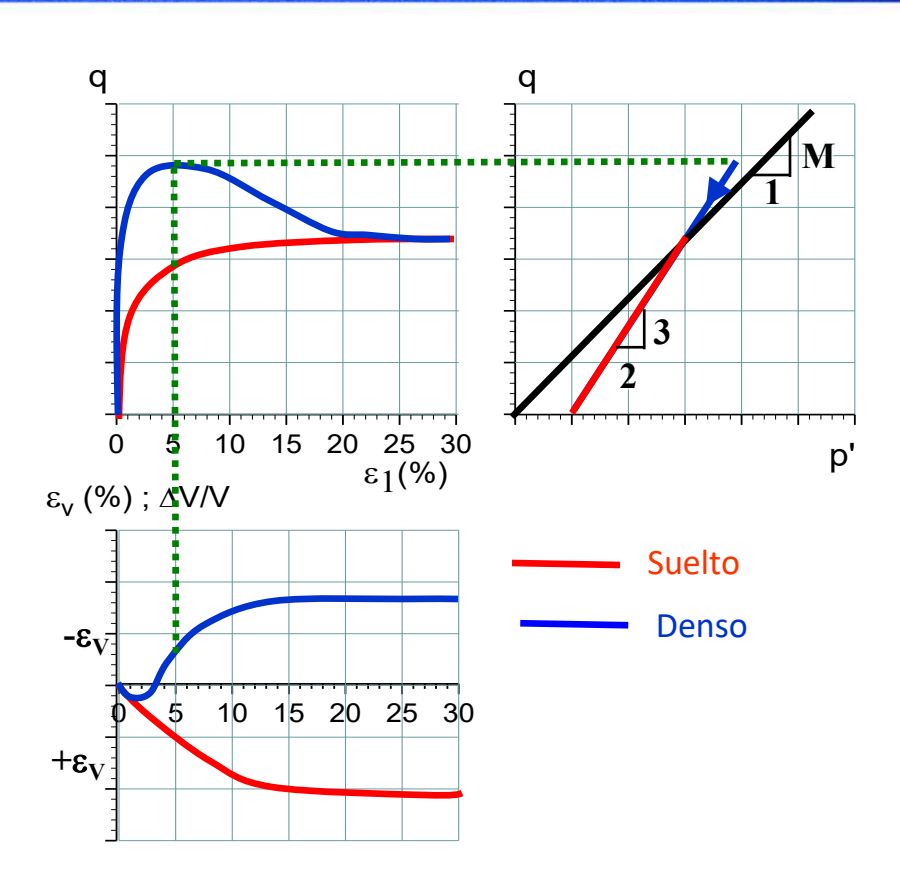


Ensayos de Laboratorio





$$M=q/p$$



Símbolos





2.00





Términos y definiciones



Superficie a explorar

En el caso de edificaciones, se refiere a la superficie mayor entre la planta del saimedepina da mayor de los subterráneos; o bien, en el caso de conjuntos habitacionales o instalaciones industriales, la superficie que la superficie de apoyo del suelo que recibe las cargas de la contenda al conjunto de estructuras cercanas que recibe las cargas de la fundación

Sello de Excavación

nivel correspondiente estructura o un mejor





Cantidad mínima de puntos de exploración:

Tabla A.1 – Número mínimo de puntos de exploración para profundidades de hasta 4,0 m

Superficie a explorar m ²	Cantidad de puntos de exploración
Hasta 500	2
De 501 a 1 000	3
De 1001 a 2000	4
De 2001 a 5000	5
De 5 001 a 10 000	6
De 10 001 a 20 000	8
De 20 001 a 30 000	10
Para más de 30 000	Según lo indicado por el profesional competente, con un mínimo de 12

Tabla A.2 – Número mínimo de puntos de exploración para profundidades sobre 4,0 m y hasta 8,0 m

Superficie a explorar m ²	Cantidad de puntos de exploración
Hasta 1 000	2
De 1 001 a 4 000	3
De 4 001 a 10 000	4
Más de 10 000	Según lo indicado por el profesional competente, con un mínimo de 5

- Para vías urbanas: pozos cada 150m con un mínimo de 2 pozos
- Camino, carreteras: pozo cada 250 ml con un mínimo de 2 pozos
- Pozos profundos de más de 8m, la cantidad la define el profesional competente.



Cantidad de puntos de exploración

Según lo indicado por el profesional competente, con un mínimo de 12

Cantidad mínima de puntos de exploración:





Cantidad de puntos de exploración

Cantidad mínima de puntos de exploración:





Profundidad mínima a alcanzar en cada punto de exploración para cargas estáticas:

• Fundaciones Superficiales se debe cumplir:

$$Z_p \geq D_f + z$$

Donde

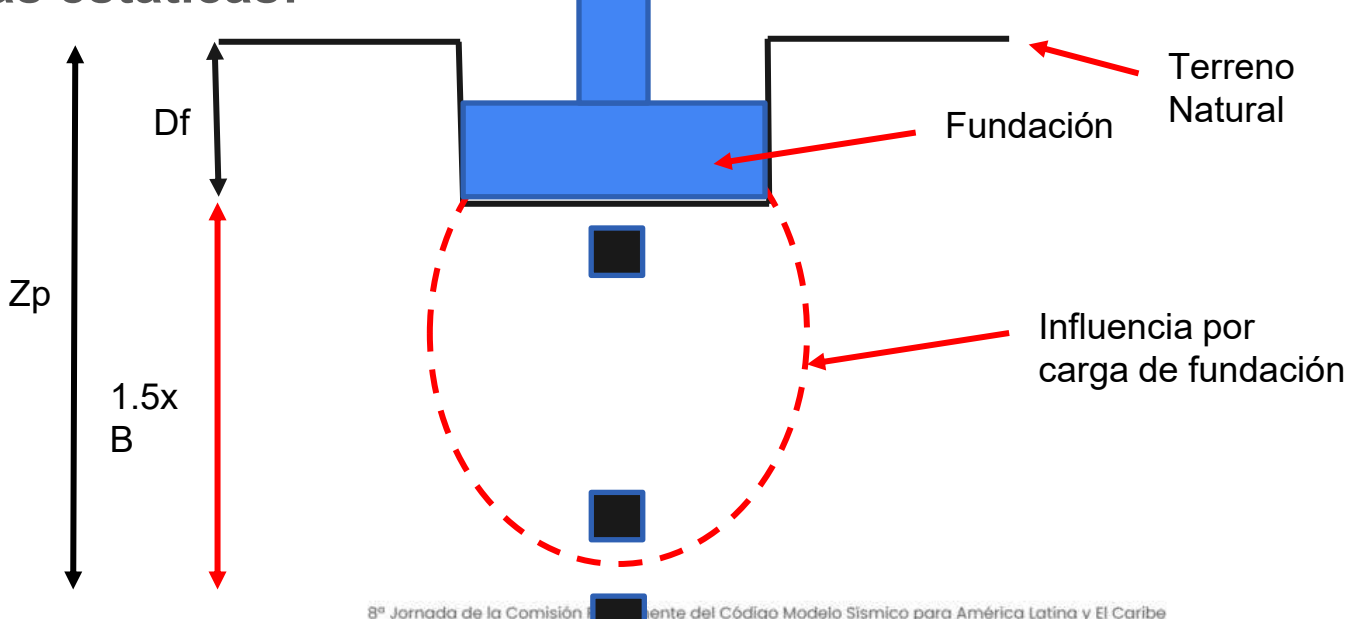
Zp : corresponde a la profundidad mínima de exploración, con un Zp mínimo de 2.5m

Df : Corresponde a la distancia vertical desde la superficie del terreno hasta el sello de fundación.

Z: 1.5 B, siendo B el lado menor de la fundación ca latina y El caribo



Profundidad mínima a alcanzar en cada punto de exploración para cargas estáticas:



Geofisica



Importancia del Vs30



Norma sismica de edificios Nch 433



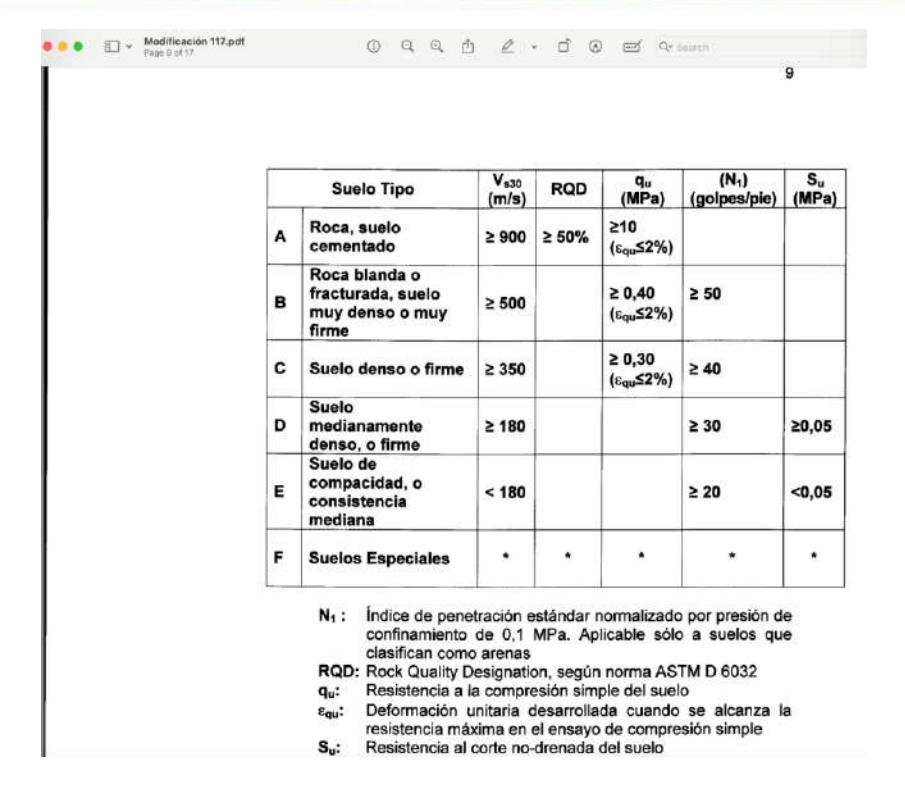
Nch 433-1996.pdf

① Q Q 🖒 🛭 - 🖒 🛇 🗹 🗘 Search

NCh433

Tabla 4.2 - Definición de los tipos de suelos de fundación. (Sólo para ser usada con la tabla 6.3)

Tipo de suelo	Descripción
1	Roca: Material natural, con velocidad de propagación de ondas de corte in-situ igual o mayor que 900 m/s, o bien, resistancia de la compresión uniaxial de probetas intactas
	(sin fisuras) igual o mayor que 10 MPa y RQD igual o mayor que 50%.
	a) Suela con v_s igual o mayor que 400 m/s en los 10 m superiores, y creciente con la profundidad; o bien,
	b) Grava densa, con peso unitario seco γ _d igual o mayor que 20 kN/m³, o índice de
	densidad $ID(DR)$ (densidad relativa) igual o mayor que 75%, o grado de compactación mayor que 95% del valor Proctor Modificado; o bien;
11	 Arena densa, con ID(DR) mayor que 75%, o Indice de Penetración Estándar N mayor que 40 (normalizado a la presión efectiva de sobrecarga de 0,10 MPa), o grado de compactación superior al 95% del valor Proctor Modificado; o bien,
	d) Suelo cohesivo duro, con resistencia al corte no drenado $S_{\mathbf{x}}$ igual o mayor que
	0.10 MPa (resistencia a la compresión simple $q_{_{\rm H}}$ igual o mayor que 0.20 MPa) en probetas sin físuras.
	En todo los casos, las condiciones indicadas deberán cumplirse independientemente de la posición del nivel freático y el espesor mínimo del estrato debe ser 20 m. Si el espesor osbre la roca es menor que 20 m, el suelo se clasificará como tipo I.
	 a) Arena permanentemente no saturada, con ID(DR) entre 55 y 75%, o N mayor que 20 Isin normalizar a la presión efectiva de sobrecarga de 0,10 MPa); o bien,
	 Grava o arena no saturade, con grado de compactación menor que el 95% del valor Proctor Modificado; o bien,
ш	 Suelo cohesivo con s_e comprendido entre 0,025 y 0,10 MPa (q_e entre 0,05 y 0,20 MPa) independientemente del nivel freático; o bien.
	 d) Arena saturada con N comprendido entre 20 y 40 (normalizado a la presión efectiva de sobrecarga de 0,10 Mpa).
	Espesor mínimo del estrato: 10 m. Si el espesor del estrato sobre la roca o sobre suelo correspondiente al tipo II es menor que 10 m, el suelo se clasificará como tipo II.
	Suelo cohesivo saturado con \mathcal{S}_g igual o menor que 0,025 MPa (q_g igual o menor que 0,050 MPa).
IV	Espesor mínimo del estrato: 10 m. Si el espesor del estrato sobre suelo correspondiente a algunos de los tipos I, il o III es menor que 10 m, el suelo se clasificará como tipo III.





Norma sismica de edificios Nch 433



DECRETO 61 2011 DISEÑO SISMICO DE Page 10 of 19	(1)	Q	Q	₾	0	٧	ď	(3)	-	Qr Search	
---	-----	---	---	---	---	---	---	-----	---	-----------	--

	Suelo Tipo	V _{s30} (m/s)	RQD	q _u (MPa)	(N ₁) (golpes/pie)	S _u (MPa)
A	Roca, suelo cementado	≥ 900	≥ 50%	≥10 (ε _{qu} ≤2%)		
В	Roca blanda o fracturada, suelo muy denso o muy firme	≥ 500		≥ 0,40 (ε _{qu} ≤2%)	≥ 50	
С	Suelo denso o firme	≥ 350		≥ 0,30 (ε _{qu} ≤2%)	≥ 40	
D	Suelo medianamente denso, o firme	≥ 180			≥ 30	≥0,05
E	Suelo de compacidad, o consistencia mediana	< 180			≥ 20	<0,05
F	Suelos Especiales	*	*			•

N₁: Índice de penetración estándar normalizado por presión de confinamiento de 0,1 MPa. Aplicable sólo a suelos que clasifican como arenas

RQD: Rock Quality Designation, según norma ASTM D 6032

qu: Resistencia a la compresión simple del suelo

 Deformación unitaria desarrollada cuando se alcanza la resistencia máxima en el ensayo de compresión simple

S..: Resistencia al corte no-drenada del suelo



Norma Industrial Nch 2369



NCh2369-2003.pdf Page 39 of 131











Tabla 5.3 - Definición de los tipos de suelos de fundación. (Sólo para ser usada con Tabla 5.4)

Tipo de suelo	Descripción
ľ	Roca: Material natural, con velocidad de propagación de ondas de corte in-situ v_{s} igual o mayor a 900 m/s, o bien, resistencia de la compresión uniaxial de probetas intactas (sin fisuras) igual o mayor que 10 MPa y RQD igual o mayor que 50%.
11	 a) Suelo con v_x igual o mayor que 400 m/s en los 10 m superiores, y creciente con la profundidad; o bien, b) Grava densa, con peso unitario seco γ_d igual o mayor que 20 kN/m³, o índice de densidad ID(DR) (densidad relativa) igual o mayor que 75%, o grado de compactación mayor que 95% del valor Proctor Modificado; o bien; c) Arena densa, con ID(DR) mayor que 75%, o Indice de Penetración Estándar N mayor que 40 (normalizado a la presión efectiva de sobrecarga de 0,10 MPa), o grado de compactación superior al 95% del valor Proctor Modificado; o bien,
	d) Suelo cohesivo duro, con resistencia al corte no drenado S _u igual o mayor que 0,10 Pa (resistencia a la compresión simple q _u igual o mayor que 0,20 MPa) en probetas sin fisuras. En todo los casos, las condiciones indicadas deberán cumplirse independientemente de la posición del nivel freático y el espesor mínimo del estrato debe ser 20 m. Si el espesor sobre la roca es menor que 20 m, el suelo se clasificará como tipo l.
	 a) Arena permanentemente no saturada, con ID(DR) entre 55 y 75%, o N mayor que 20 (sin normalizar a la presión efectiva de sobrecarga de 0,10 MPa); o bien,
	 b) Grava o arena no saturada, con grado de compactación menor que el 95% del valor Proctor Modificado; o bien,
Ш	c) Suelo cohesivo con s_u comprendido entre 0,025 y 0,10 MPa (q_u entre 0,05 y 0,20 MPa) independientemente del nivel freático; o bien,
	 Arena saturada con N comprendido entre 20 y 40 (normalizado a la presión efectiva de sobrecarga de 0,10 Mpa).
W	Espesor mínimo del estrato: 10 m. Si el espesor del estrato sobre la roca o sobre suelo

NORMA CHILENA NCh 2369

Tercera edición 2025 05 28

Diseño sísmico de estructuras e instalaciones industriales

Seismic design of industrial structures and facilities

Tabla 4 - Definición de los tipos de suelos de fundación sólo para ser usada con Tabla 6

	Suelo Tipo ^a	V _{s30} [m/s]	7 _g [8]
A	Roca, suelo cementado	≥ 900	< 0,15 o <i>HIV</i> plano
В	Roca blanda o fracturada, suelo muy denso o muy firme	≥ 500	< 0,30 o <i>HIV</i> plano
С	Suelo denso o firme	≥ 350	< 0,40 o H/V plano
D	Suelo medianamente denso, o firme	≥ 180	< 1,00
E	Suelo de compacidad, o consistencia mediana	< 180	
F	Sitios singular	es	

ICS 91 080 01



Número de referencia

241 páginas

© INN 2025

dei Codigo Modeio Sismico para America Latina y El Caribe

Que regulación para medir Vs?



MANUAL DE APLICACIÓN DE TÉCNICAS GEOFÍSICAS BASADAS EN ONDAS DE SUPERFICIE PARA LA DETERMINACIÓN DEL PARÁMETRO V_{S30}

AUTORES:

Francisco Humire Guarachi Esteban Sáez Robert Felipe Leyton Flórez





NAKAMURA HVSR H/V To Tg





NAKAMURA HVSR H/V To Tg



A la luz publica recien 2023......



Tabla 4 - Definición de los tipos de suelos de fundación (sólo para ser usada con Tabla 5)

	Suelo Tipo	V _{s30} [m/s]	T _g [s]
Α	Roca, suelo cementado	≥ 900	< 0,15 (o H/V plano)
В	Roca blanda o fracturada, suelo muy denso o muy firme	≥ 500	< 0,30 (o H/V plano)
С	Suelo denso o firme	≥ 350	< 0,40 (o H/V plano)
D	Suelo medianamente denso, o firme	≥ 180	< 1,00
Е	Suelo de compacidad, o consistencia mediana	< 180	

NOTAS

Esta clasificación es aplicable a terrenos de topografía y estratificación aproximadamente horizontal, y para casos en que las estructuras afectadas se encuentran lejos de singularidades geomorfológicas y topográficas.

Para definiciones y lineamientos sobre la clasificación sísmica de suelos considerar Anexo C.

La clasificación y caracterización sísmica de suelos para el diseño estructural que se realice debe considerar los estratos de suelo que influyan en la respuesta sísmica de la estructura en estudio. Se deben definir las disposiciones de diseño adicionales a las presentadas en esta norma que sean necesarias a fin de garantizar los objetivos de desempeño establecidos.

Cuando la información sobre el suelo de fundación permita clasificarlo dentro de dos o más tipos de suelo, se debe optar por la Clasificación Sísmica que resulte en el caso más desfavorable.



NAKAMURA HVSR H/V To Tg



Tabla 4 - Definición de los tipos de suelos de fundación sólo para ser usada con Tabla 6

	Suelo Tipo ^a	<i>V</i> _{s30} [m/s]	<i>T</i> g [s]
Α	Roca, suelo cementado	≥ 900	< 0,15 o <i>H/V</i> plano
В	Roca blanda o fracturada, suelo muy denso o muy firme	≥ 500	< 0,30 o <i>H/V</i> plano
С	Suelo denso o firme	≥ 350	< 0,40 o <i>H/V</i> plano
D	Suelo medianamente denso, o firme	≥ 180	< 1,00
Е	Suelo de compacidad, o consistencia mediana	< 180	
F	Sitios singular	res	

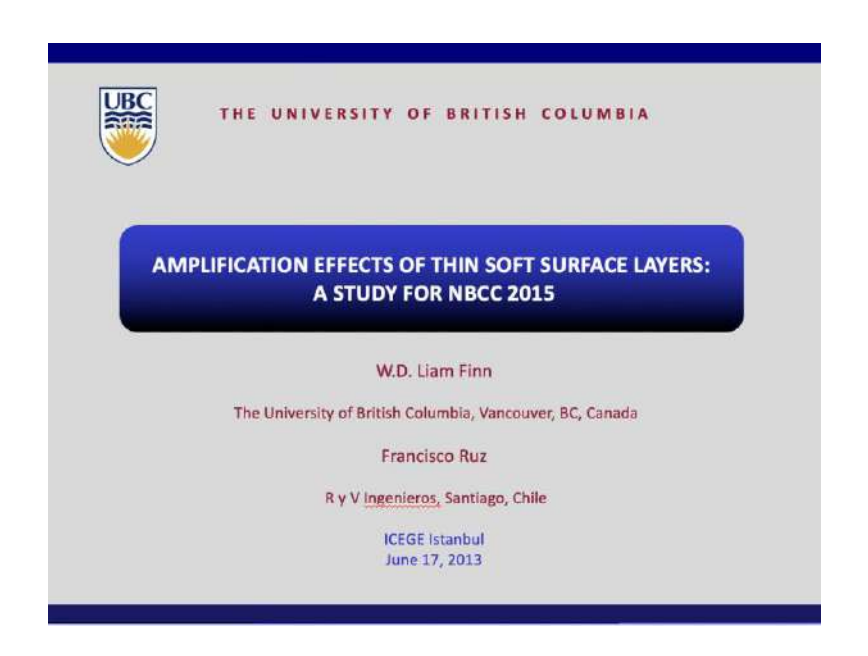








2013





AMPLIFICATION EFFECTS OF THIN SOFT SURFACE LAYERS: A STUDY FOR NBCC 2015

W.D. Liam FINN1 and Francisco RUZ2

ABSTRACT

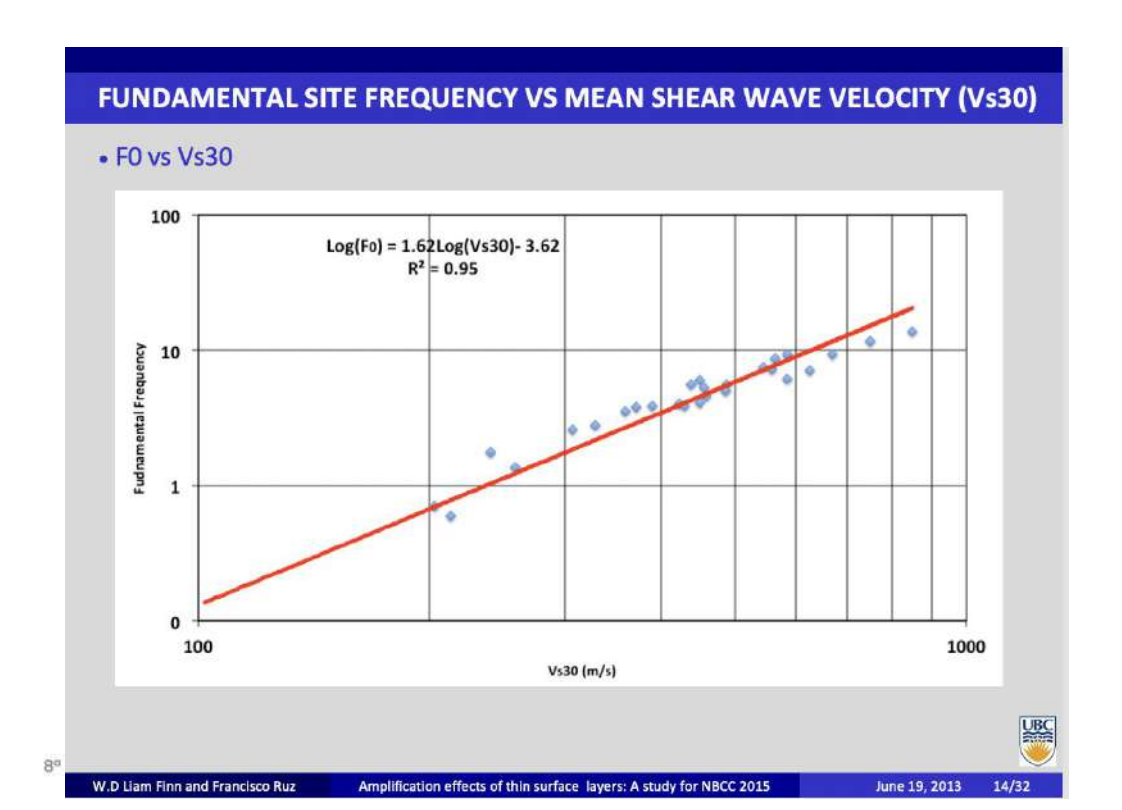
The seismic response of shallow soft surface layers is of concern in developing the seismic section of the National Buiking Code of Canada for 2015 (NBCC 2015). The response of such layers is studied using recorded data from the 2011 Tokoke autrhquake. Forteren sites have been studied in detail so far that had soft, shallow surface layers. At each site two records were available, one at the bottom of the borehole at a depth of the order of 100m -500m and one on the surface. Site response analyses were conducted to determine the ground motion at the top of the rock underlying the surface layer, so that the amplification of the soil layer itself relative to the rock surface could be determined. These analyses were conducted using the program SHAKE. The properties in SHAKE were calibrated to get a good match between the measured and computed surface motions for the recorded input at the between the measured and computed surface motions for the recorded input at the

Keywords: Site Response, Shallow Site Amplification Factors, Amplification Correlations with V₅₀₀. Tohoku 2011 Data.





2013







2015

FUCHIGE Fundacion Chilena de Investigación Geotécnica

FUCHIGE Fundacion Chilena de Investigación Geotécnica

DESCARGAS Y LINKS



En esta seccion se puede descargar la informacion recopilada por la fundacion Chilena de Geotecnia

IR A DESCARGAS

NOTICIAS

22 de enero de 2015

Campaña del centro

Se realizo una extensa campaña de mediciones geofisicas.

(S) 13 de enero de 2015

Campaña del sur

Se realizo una extensa campaña de mediciones geofisicas.

VER MÁS NOTICIAS





2016



Amplification Effects of Thin Soft Surface Layers

W.D. Liam Finn, a) M.EERI, and Francisco Ruzb) M.EERI

The amplification effects of shallow soft surface layers with respect to an underlying hard soil layer or rock are studied using data recorded from the 2011 Tohoku earthquake. Twenty-four sites have been studied with depths to rock ranging from 4-30m. At each site two records were available, one in rock at the bottom of the borehole at depths of 100m - 500m and one on the surface of the soft soil layer. Analyses of the soil-rock columns were conducted using the program SHAKE. Good agreement was found between calculated and recorded surface spectra, which demonstrated the reliability of SHAKE analyses for the sites under study. Therefore SHAKE analyses were used to determine the outcrop motions at the top of rock. Amplification factors were determined by comparing characteristics of the surface and outcrop motions such as Fourier and response spectra. Computed amplification factors were correlated with V_{si0}, V_{soil} and soft layer period T=4H/V_{soil}. The results show clearly that the most reliable correlations for estimating the amplification of soft shallow surface layers less than 30m are those based on V_{si0} and soft layer period T.

2017

Performance of Chilean sites under strong earthquake shaking



Francisco Ruz

R y V Ingenieros, Santiago, RM, Chile

W.D. Liam Finn

Department of Civil Engineering - University of British Columbia, Vancouver, BC, Canada

ABSTRACT

An important contributor to effective performance based seismic design in a given region is a good understanding of what contributes to the distribution of damage in past earthquises. This page presents a detailed study damage distribution in Chile from earthquiskes over the past 5 years. Chile has been affected by several strong subduction earthquisks such as Coquimbo Mw8.4 (2015) and quique Mw8.2 (2014). These would be expected to cause significant damage was observed. In contrast the Maule Mw8.8 (2010) earthquiske occurred in the south of Chile where stiff soils are encountered but the Musel Mw8.8 (2010) earthquiske occurred in the south of Chile where stiff soils are encountered but the Musel Mw8.8 (2010) earthquisk cocurred in the south of Chile where stiff soils are encountered but the Musel Mw8.8 (2010) earthquisk cocurred in the south of Chile where stiff soils are concorded the south of Chile where stiff soils are concorded different suddiction arthquisks. At each site V profile, soil period (T) calculated Milk Nakamura methodology (HVV) and a 30m borehole stratigraphy are available. The study showed that in addition to soil type, the Nakamura site period can be a useful indicator of damage potential.

1 INTRODUCTION

The saismidly of Chile is dominated by large offshore subduction earthquakes such as the Coquimbo Mw8.4 (2015), the Iquique Mw8.2 (2014), the Maule Mw8.8 (2019) and the Valoraniso Mw8.0 (1985). All Magnitudes are those reported by Centro Sismológico Nacional (CSN), Damage patients from these and other subduction earthquakes are Investigated in this report using intensity data from 26 recording sites located all over Chie. Soil stratigraphy and detailed descriptions of site conditions are available for seah site from a critical Soil moreonic Confinuous measurement with depth of shear wave velocity permits a resibilate estimate of V_{CC} and classification of the site secording to the Canadian Code NBCC (2015).



Site	Place	*Site Class	Darrage	T _N sec	Site	Place	*Site Class	Darrage	T _n s	ec
1	Serviu Iquique	8	Х	TN < 0.4s	14	La Granja	C	×	Flat	
2	Estadio La Serena	С	Х	TN < 0.4s	15	Gob Talagante	C	X	Flat	
3	Maipū	C	Х	TN < 0.4s	16	Melpila	C	X	Flat	
4	loca	C	Х	TN < 0.4s	17	Curios	Ç	Х	Flat	
5	Talca	C	Х	TN < 0.46	18	Hospital Coquimbo	¢	Х	Flat	
6	Cauquenes	C	Х	TN < 0.4s	19	Constitución	0	1	TN 2 Q.4	s
7	Angol	D	Х	TN < 0.4s	20	San Pedro de la Paz	C	1	TN 2 0.4	48
8	Hospital Iquique	C	Х	Flat	21	Viña del mar-Centro	D	1	TN 204	is
9	Alto Haspicio	C	Х	Flat	22	Congreso Nacional	D	1	TN 2 0.4	15
10	Comisaria La Serena	C	Х	Flat	23	Aeropuerto Pudahuel	D	1	TN 2 0.4	s
11	Hospital Fach	C	Х	Flat	24	Cludad Empresarial	D	1	TN 2 0.4	is
12	Club Militar Santiago	C	Х	Flat	25	Concepción	D	1	TNa04	Is
13	Hopital Luis Tisne	C	Х	Flat	26	Valdivia	D	1	TN 2 0.4	15





2017

CLASIFICACIÓN SÍSMICA DE SUELOS (Julio 2017)

1.- TERRENOS QUE REQUIEREN ESTUDIO ESPECIAL

Los siguientes tipos de terrenos requieren de un estudio especial en el cual se establezca un espectro de diseño local:

- Suelos potencialmente licuables, como arenas, arenas limosas o limos, saturados, de baja compacidad y/o consistencia
- Depósitos de Suelos Especiales como suelos susceptibles de densificación por vibración; suelos colapsibles, suelos orgánicos, turba, suelos finos saturados con Límite Líquido > 80 y espesor > 20 m, suelos finos saturados de sensitividad mayor a 10, entre otros.
- Terrenos con topografía irregular donde pueden existir fenómenos de amplificación local, los cuales no están cubiertos por la presente clasificación.

Tabla No. 1.- CLASIFICACIÓN SÍSMICA DE SUELOS

	Suelo Tipo	V _{S-30} (m/s)	T _{nak} (segundos)
A	Roca, suelo cementado	≥ 900	< 0.15 (o H/V plano)
В	Roca blanda o fracturada, suelo muy denso o muy firme	≥ 500	< 0.30 (o H/V plano)
С	Suelo denso o firme	≥ 350	< 0.40 (o H/V plano)
D	Suelo medianamente denso, o firme	≥ 180	< 1.0
E	Suelo de compacidad, o consistencia mediana	< 180	t

T_{nak}: Periodo predominante del terreno estimado mediante la razón espectral H/V (método de Nakamura).

H/V Plano: Razón espectral H/V sin un valor máximo definido.





2019





NEW CHILEAN SEISMIC CODE AND THE USE OF NAKAMURA PERIOD FOR ASSESSING DAMAGE POTENTIAL.

Francisco Ruz Vukasovic RyV Ingenieros ®

W.D Liam Finn
The University of British Columbia





New Chilean seismic code and the use of Nakamura period for assessing damage potential.

Francisco Ruz RyV Ingenieros, Santiago, RM, Chile

W.D. Liam Finn

Department of Civil Engineering - University of British Columbia, Vancouver, BC, Canada.

ABSTRACT: The proposed new Chilean Building Code introduced the Nakamura site period, T_N , as a parameter for classifying sites into the Site Classes A, B, C, D and E that are used widely in current building codes. The period is based on analysis of ambient vibration data recorded by a single instrument on the surface at the site, typically for a duration of 20 minutes. The procedure for developing a site classification system based on T_N , is described in detail. Initially studies were conducted on 26 sites for which the following information was available: V_{s30} , 30m site stratigraphy, Nakamura Period, and damage patterns from past earthquakes in surrounding region. The studies were later extended to many other sites with similar data. Finally, a country wide hazard map was developed for Chile based on data from 670 widely dispersed locations in terms of the Site Classes A, B, C, D and E.





2020



The 17th World Conference on Earthquake Engineering

17th World Conference on Earthquake Engineering, 17WCEE Sendai, Japan - September 13th to 18th 2020

PROPOSED USE OF THE NAKAMURA SITE PERIOD FOR SITE CLASSIFICATION IN THE NEW CHILEAN CODE

F.Ruz(1) and W.D.L. Finn(2)

Abstract

Since 2013 a committee of SOCHIGE (Chilean Geotechnical Society) has been working on updating some of the seismic provisions of the current Chilean Building Code. One of the proposals for change is the use of the Nakamura site period, T_N, as a parameter for classifying sites into the Site Classes A, B, C, D, and E and as an indicator of damage potential for hazard mapping. The Nakamura period is based on analysis of ambient vibration data recorded by a single instrument on the surface at the site, typically for a duration of 20 minutes.

The database supporting the adoption of T_N was developed by RyV Ingenieros for their geotechnical projects. The company made their database available to the national code committee to support the development of a new updated building code. The database at that time consisted of 1850 sites with shear wave velocity V_{abo} 670 sites with shear wave velocity V_{abo} 670 sites with shear wave velocity V_{abo} 670 sites with shear wave velocity V_{abo} 671 sites with shear wave velocity V_{abo} 671 sites with shear wave velocity V_{abo} 673 sites with shear wave velocity V_{abo} 674 sites with shear wave velocity V_{abo} 674 sit

The procedure for developing a site classification system based on T_{N_0} is described in detail for three widely distributed sites, Iquique in the north, Vifia del Mar and Santiago in the center and Conception in the south. Initially studies were conducted for which the following information was available: $V_{s,3b}$, 30m site stratigraphy, Nakamura Period, and damage patterns from past earthquakes in the surrounding region. The studies were later extended to many other sites with similar data. While analyzing an extended database including 2160 sites with $V_{s,3b}$, 715 sites with 30m borehole stratigraphy and 930 sites with T_{N_0} it was found that sites with a stiff soil layer over a soft layer did not show a clear peak for identifying the Nakamura period, T_{S_0} .

Finally using data from 930 widely dispersed sites, a country wide hazard map has been updated for Chile in terms of the Site Classes A, B, C, D and E.





¹⁾ Manager, RyV Ingenieros, francisco@ryv.cl

²⁾ Emeritus Professor, University of British Columbia, finn@civil.ubc.ca

Que paso con ese borrador?



Por una parte, el perfil de Vs es posible de ser obtenido a través del análisis de mediciones de ondas superficiales (por ejemplo, SPAC, SASW, MASW). En el caso de empleo de vibraciones ambientales, las mediciones y análisis deben estar asociados a arreglos bidimensionales de los sensores, esto debido a que la ejecución de dos líneas ortogonales de medición pueden sobreestimar los valores determinados de Vs. Las mediciones de ondas superficiales deben cumplir con las recomendaciones de ejecución del documento "Manual de Aplicación de Técnicas Geofísicas Basadas en Ondas de Superficie para la Determinación del Parámetro Vs_{50°}.

La medición de vibraciones ambientales para evaluar la razón espectral H/V requiere un mínimo de 5 mediciones de al menos 30 minutos de duración cada una. La interpretación de estas mediciones deberá seguir los criterios SESAME y se deberá seleccionar aquella que resulte en una clasificación sísmica más conservadora.





Por una parte, el perfil de Vs es posible de ser obtenido a través del análisis de mediciones de ondas superficiales (por ejemplo, SPAC, SASW, MASW). En el caso de empleo de vibraciones ambientales, las mediciones y análisis deben estar asociados a arreglos bidimensionales de los sensores, esto debido a que la ejecución de dos líneas ortogonales de medición pueden sobreestimar los valores determinados de Vs. Las mediciones de ondas superficiales deben cumplir con las recomendaciones de ejecución del documento "Manual de Aplicación de Técnicas Geofísicas Basadas en Ondas de Superficie para la Determinación del Parámetro Vs_{30"}.

La medición de vibraciones ambientales para evaluar la razón espectral H/V requiere un mínimo de 5 mediciones de al menos 30 minutos de duración cada una. La interpretación de estas mediciones deberá seguir los criterios SESAME y se deberá seleccionar aquella que resulte en una clasificación sísmica más conservadora.



"Guía de Caracterización Dinámica de Sitios y Anteproyecto de Norma "Obtención de parámetro Vs y TO basado en técnicas de ondas de superficie para clasificación sísmica de sitios"

Proyecto Fondef ID22I10032



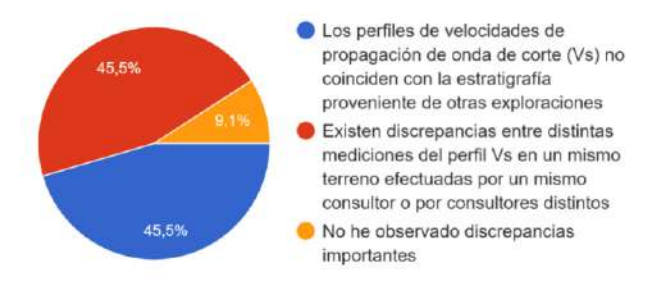


Encuesta de opinión experta a través de SOCHIGE: - 99 participantes

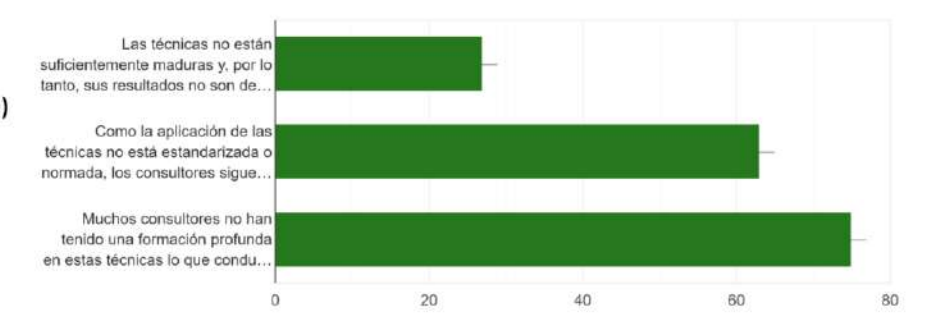
1. ¿En qué porcentaje de los proyectos que ha participado se han encontrado <u>discrepancias importantes</u> entre los resultados entregados por la aplicación de técnicas geofísicas sísmicas basadas en ondas superficiales (MASW, ReMi, SPAC, etc.) y/o otro tipo de exploraciones más directas (sondajes, calicatas, ensayos SPT, CPTu, etc.) y/o entre mediciones geofísicas independientes?



2. Seleccione entre las siguientes opciones la <u>discrepancia</u> que más frecuentemente haya observado.



3. ¿ <u>A qué atribuye</u> estas discrepancias ? (puede marcar todas la que estime pertinente)





Base de datos RyV Ingenieros













CURSO PILOTO MINISTERIO MINVU















Curso Uso de Métodos Basados en Ondas de Superficie Aplicada a la Clasificación Sismica de Sitio

Minvu, 6 y 7 agosto 2024

Proyecto Fondef ID20I-10032

Resumen:

Este curso revisa los conceptos fundamentales de los métodos geofísicos basados en ondas de superficie, que se emplean en la caracterización dinámica de sitios, y su aplicación en la clasificación sísmica. El curso detalla la formulación de métodos activos y pasivos que permiten encontrar perfiles de velocidad de onda de corte (Vs) a partir de los cuales se puede obtener la velocidad de las ondas de corte promedio de los 30 metros superiores del terreno (Vs₃₀). De la misma forma, el curso revisa los conceptos fundamentales del método de las razones espectrales H/V, o método de Nakamura, que permite estimar el periodo predominante de sitio (Tg) a partir de registros de ruido sismico ambiental. El curso consiste en clases expositivas y prácticas con el software de código abierto Geopsy. Se espera que los resultados de aprendizaje sean la determinación de perfiles de Vs a partir de registros de vibraciones activas y pasivas, el cálculo de razones espectrales H/V a partir de registros de vibraciones ambientales de tres componentes y el cálculo y aplicación de los parámetros Vs50 y Tg en la clasificación sísmica de sitio.







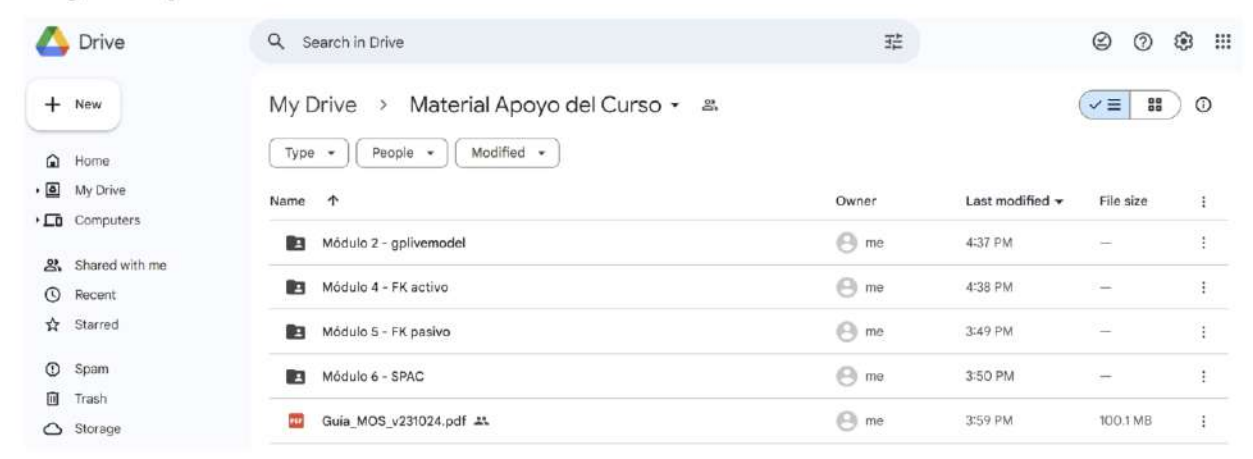








Material complementario: repositorio de ejemplos





https://drive.google.com/drive/folders/1kYpaJaiqixK275gWkSS5ll D3LqtutVP3?usp=sharing







F307-01-15v03

PROYECTO DE NORMA EN CONSULTA PÚBLICA - prNCh3793

Técnicas geofísicas sísmicas para la caracterización dinámica de sitios

Preámbulo

El Instituto Nacional de Normalización, INN, es el organismo que tiene a su cargo el estudio y preparación de las normas técnicas a nivel nacional. Es miembro de la INTERNATIONAL ORGANIZATION FOR STANDARDIZATION (ISO) y de la COMISIÓN PANAMERICANA DE NORMAS TÉCNICAS (COPANT), representando a Chile ante esos organismos.

Este proyecto de norma ha sido preparado por el INN y está basado en antecedentes técnicos nacionales aportados por el Ministerio de Vivienda y Urbanismo en el marco del proyecto Fondef ID22I10032 financiado por la Agencia Nacional de Investigación y Desarrollo, y se encuentra en consulta pública para que las partes interesadas emitan sus observaciones las cuales serán tratadas en un Comité Técnico.

Si bien se ha tomado todo el cuidado razonable en la preparación y revisión de los documentos normativos producto de la presente comercialización, INN no garantiza que el contenido del documento es actualizado o exacto o que el documento será adecuado para los fines esperados por el Cliente.

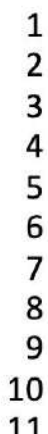






F307-01-15v03

ANTEPROYECTO DE NORMA/PROYECTO DE NORMA EN CONSULTA PÚBLICA/VERSIÓN FINAL COMITÉ – prNCh3793



Obtención de parámetro Vs y Tg basado en técnicas de ondas de superficie para clasificación sísmica de sitios





Estructura Guía





	Introduction	- 4
1.1	Motivación	7
1.2	Objetivos y alcances de la Guía	8
1.3	Generalidades sobre los métodos basados en ondas de superficie	9
2	Términos y Simbología	13
2.1	Términos	13
2.2	Simbología	14
3	Teoria de Propagación de Ondas Superficiales	15
3.1	Introducción	15
3.2	Propagación de ondas unidimensional (1D)	15
3.2.1	Vibración longitudinal de un viga	
3.2.2	Vibración forsional en vigas	
3.2.3	Vibración de corte en vigas	
3.2.4	Disipación de energía	26
3.3		33
3.3.1	Propagación de ondas en un medio elástico e isótropo	
3.3.2	Ondas planas monocromáticas	34
3.3.3	Reflexión y refracción de andas en una interfaz	
3.3.4	Propagación de ondas en un medio elástico semi-infinito	37
3.4	Dispersión de ondas de superficie en un semi-espacio heterogéneo	47
3.4.1	Onda de Love en estrato sobre semi-espacio elástico	49
3.4.2	Onda de Rayleigh en estrato sobre semi-espacio elástico	53

4	Muestreo Espacial y Temporal	57
4.1	Características básicas de las vibraciones ambientales	57
4.2	Transformada $f-k$	59
4.3	Muestreo en tiempo	61
4.4	Muestreo en espacio	63
5	Geopsy: Primeros Pasos	67
5.1	Descarga e instalación.	67
5.2	Importar señales y coordenadas.	70
5.3	Agrupar señales.	72
5.4	Acondicionamiento de señales,	74
5.5	Generalidades: Ventaneo de señales	75
6	Métodos Activos	77
6.1	Adquisición de datos experimentales	77
6.1.1	Equipamiento y sensores	. 77
6.1.2	Fuente activa	
6.1.4	Tiempo de registro y frecuencia de muestreo	
6.2	Diseño de arreglas y ejecución en terreno Análisis de ensayos activos	80
6.2.1	Método f-k activo	
6.2.2	Ejempko práctico	
7	Métodos Pasivos	03
7.1	Adquisición de datos experimentales	93
7.1.1	Equipamiento y sensores.	
7.1.2	Calidad en mediciones y estabilización	
7.1.3	Tiempo de registro y Frecuencia de muestreo Diseño de arregios y ejecución en terreno.	
7.2	Análisis de ensayos pasivos.	97
7.2.1	Método f-k pasivo.	
7.2.2	Método FK de alta resolución (HRFK)	
7.2.3	Método de autocorrelación espacial.	112
7.2.4	Interferometria de ruido sismico ambiental.	118
8	Inversión	123
8.1	Proceso de inversión con dinver	127
9	Método de la razón espectral H/V	138
9.1	Teoria.	136
9.2	Adquisición de datos en terreno.	137
9.3	Procesamiento de datos.	138
9.4	Control de Calidad.	140
9.4.1	Criterios de conflabilidad	140
9.4.2	Criterios de peak claro	140



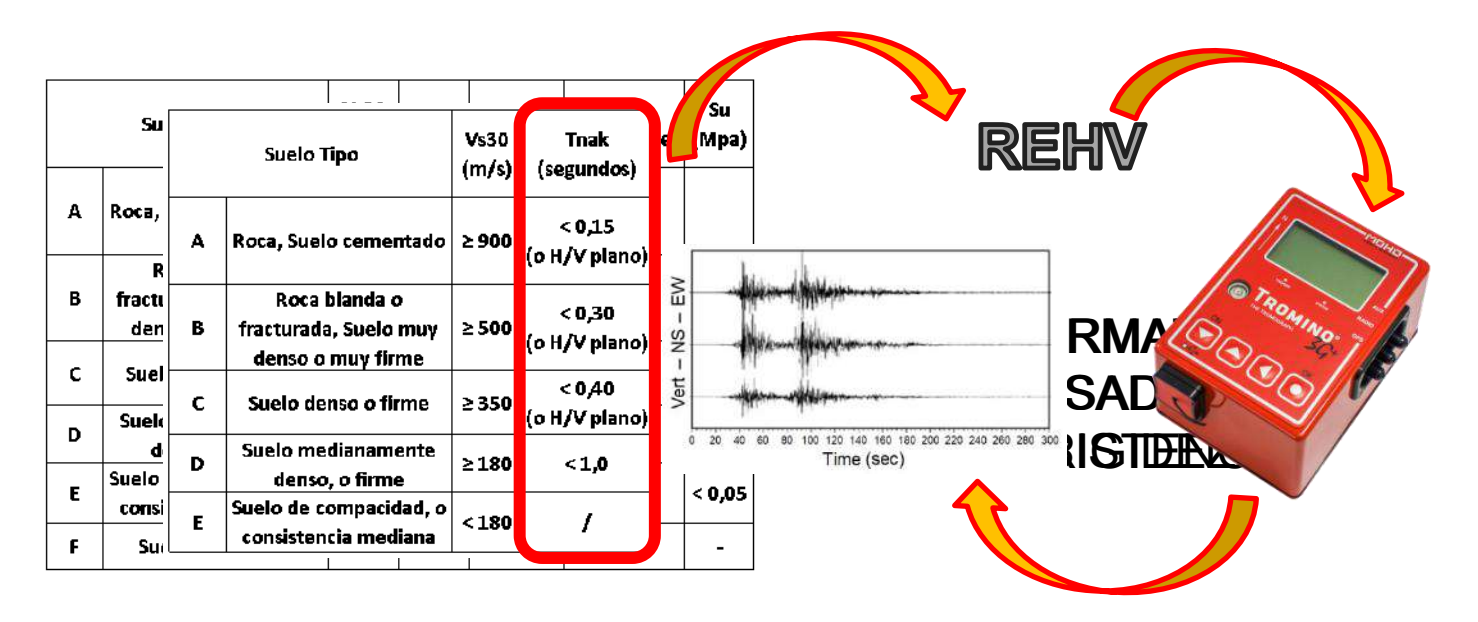


Vamos a la práctica





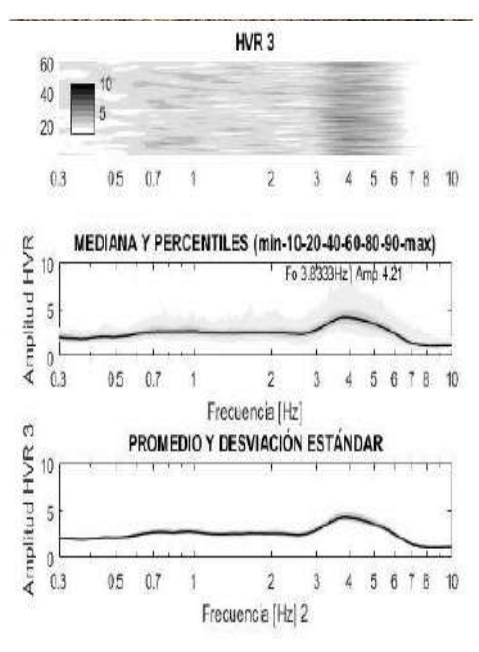
CAMBIO NORMATIVO





Información necesaria para clasificar





0.406 0.378



Sismograto y computador.

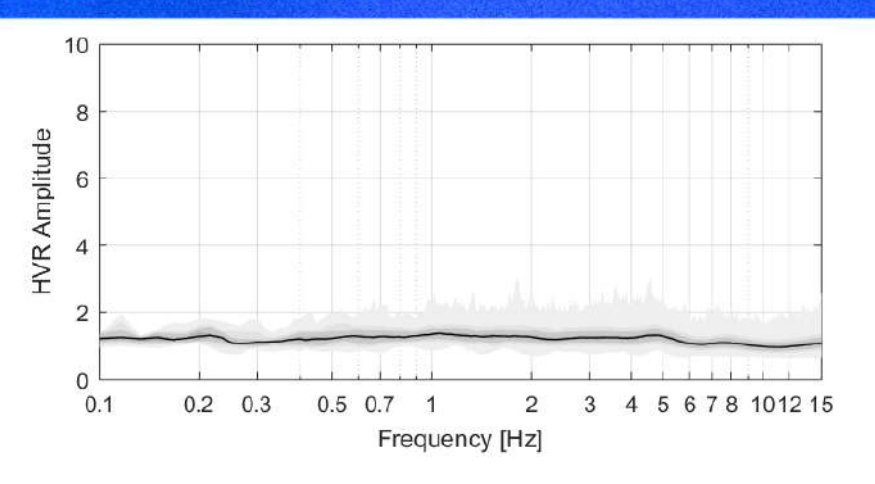
Iromino

CASO SIMPLE

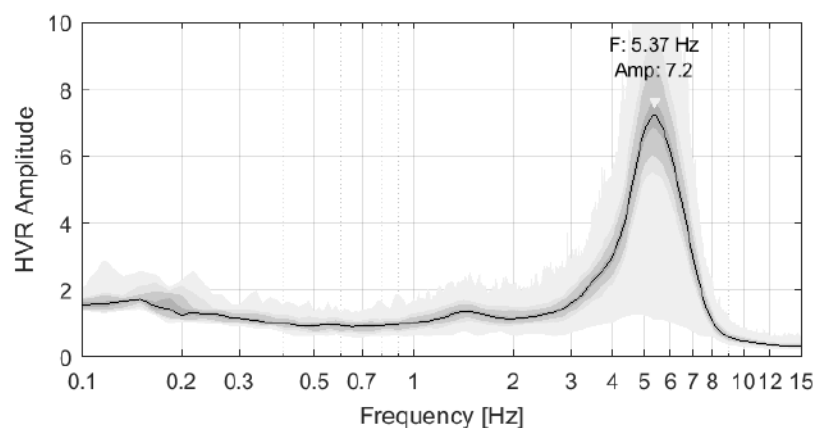


CASOS H/V





Caso 1)
Curva plana
H/V Amplitud < 2

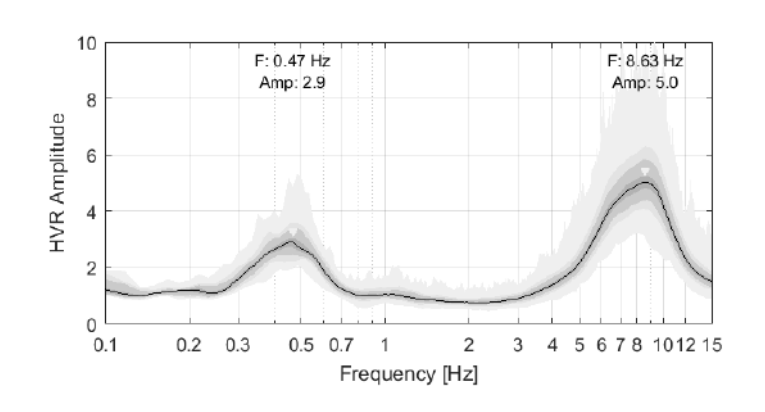


Caso 2)
frequencia
predominante
H/V Amplitud > 2

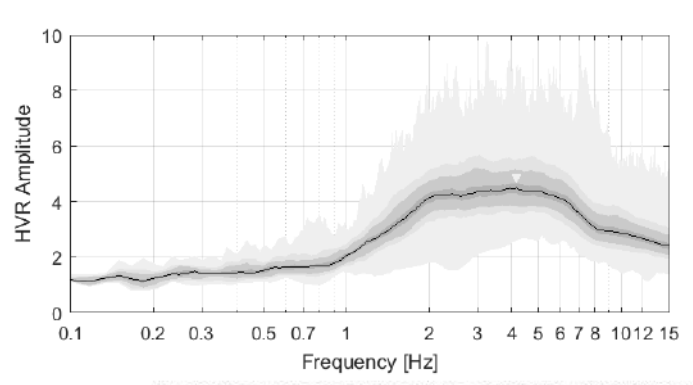


CASOS H/V





Caso 3)
Dos o mas
frecuencias
predominantes

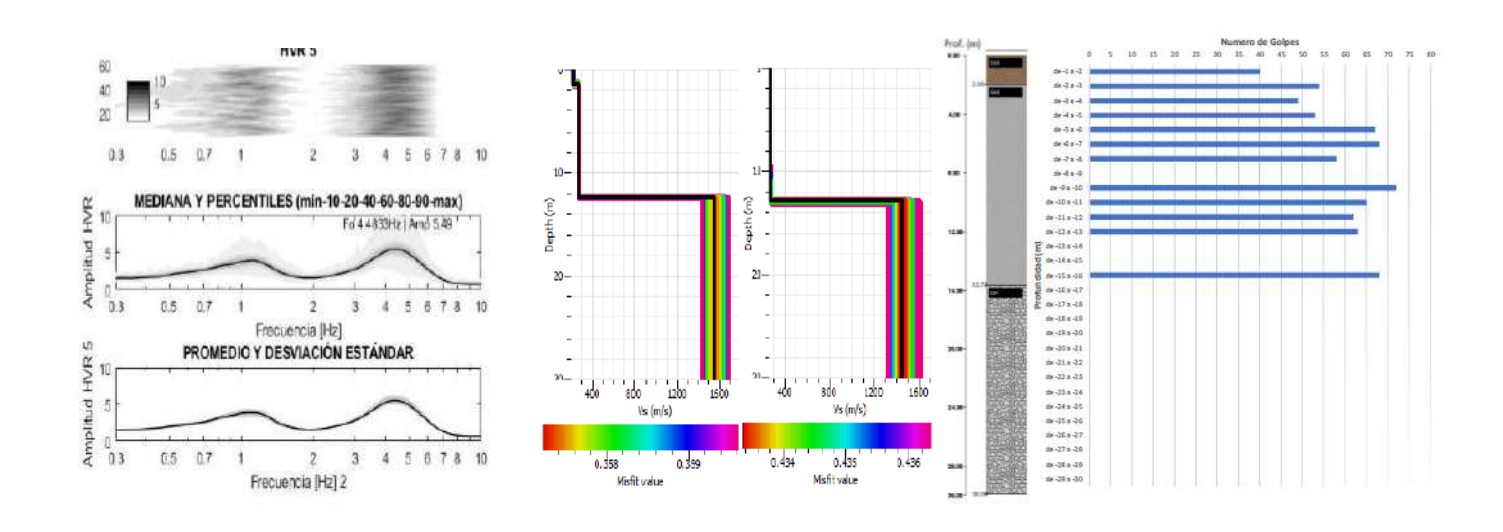


Caso 4)
No es possible identificar una frecuencia predominante



EJEMPLO CASO CON 2 PEAKS







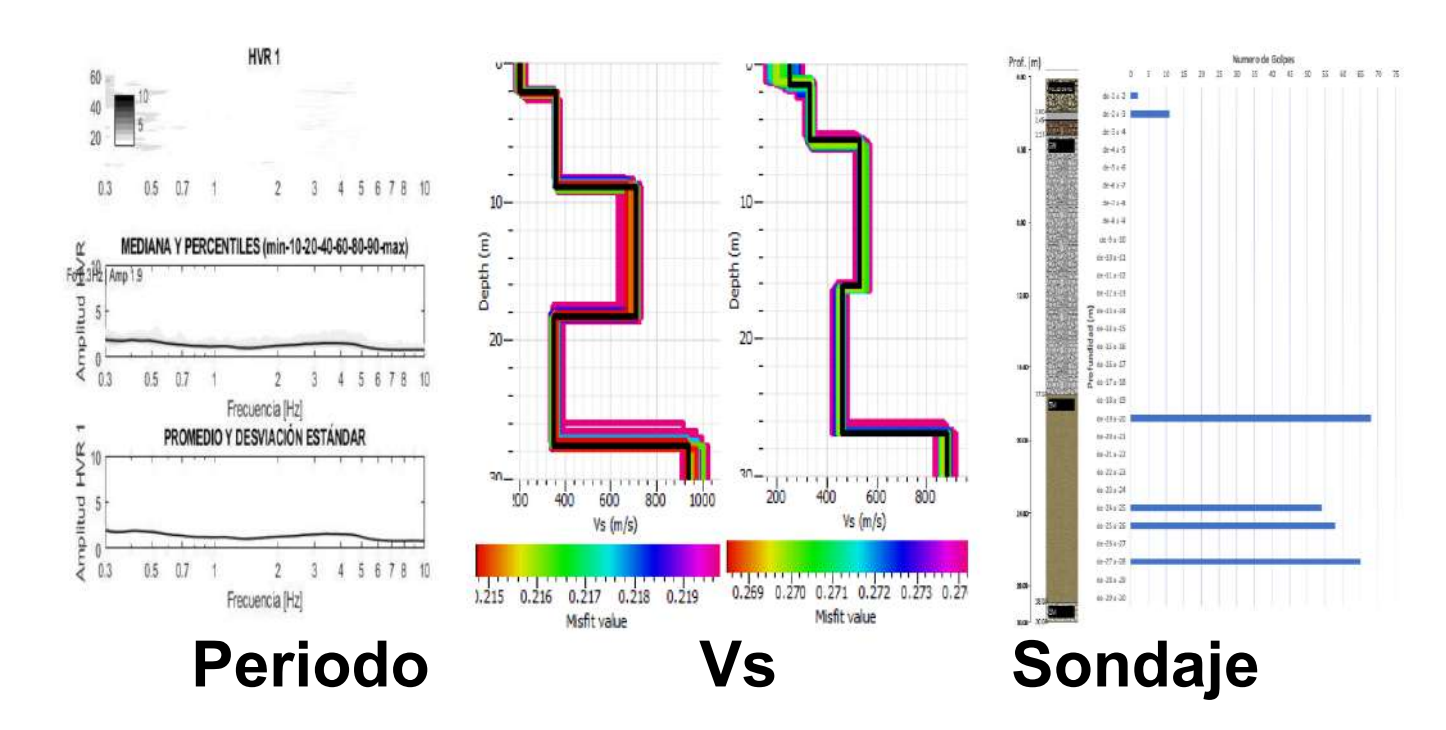
Vs

Periodo

Sondaje

EJEMPLO CASO CON INVERSION

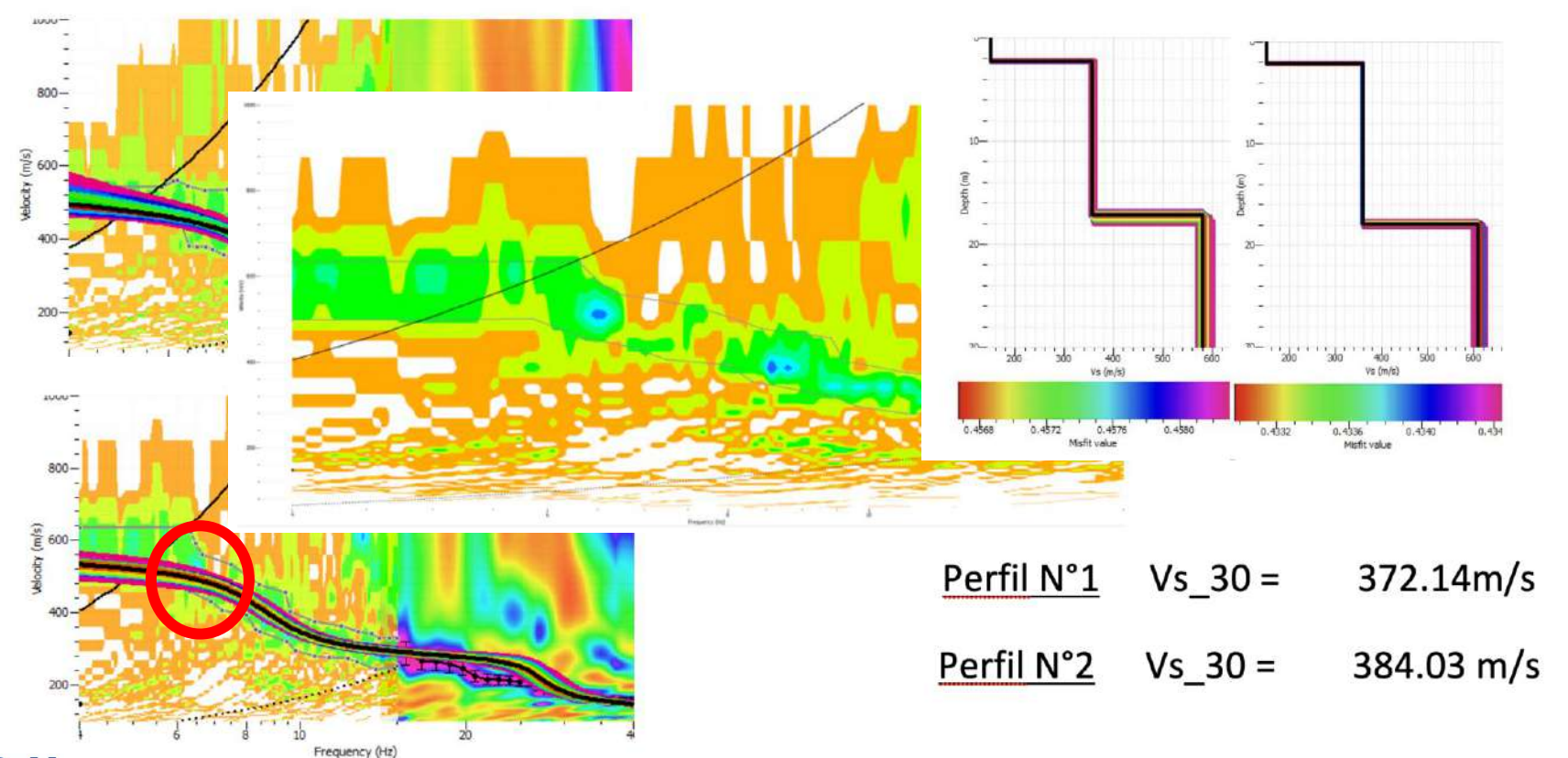






Perfil Vs sin sondaje







Perfil Vs con sondaje









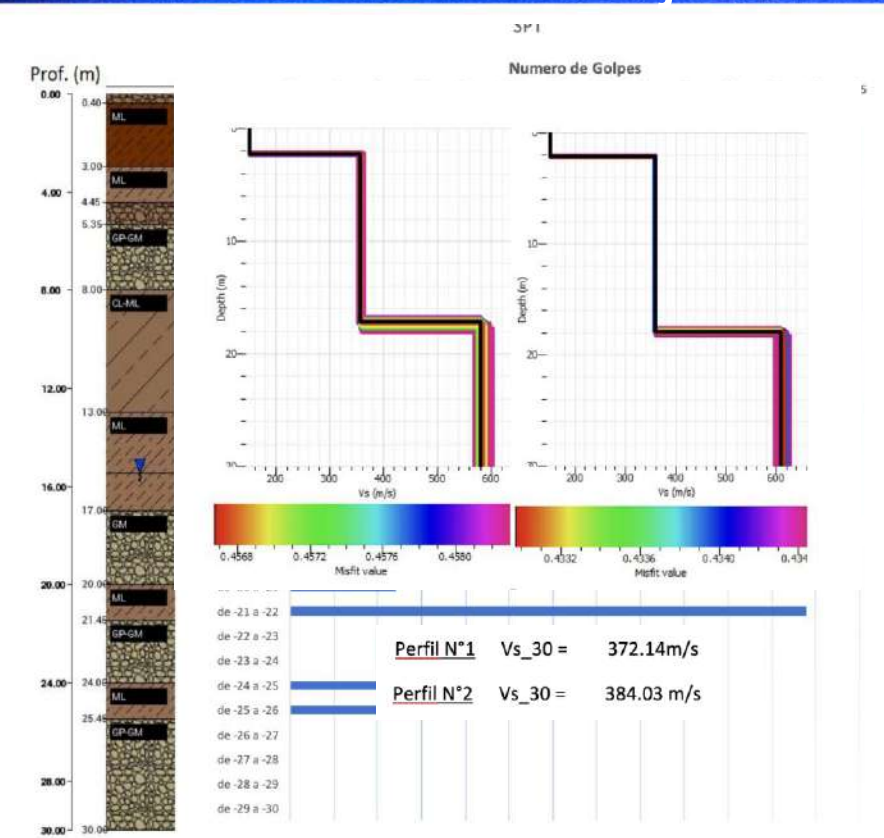
objetivo que cuantifica la diferencia entre las curvas diferencia de escala de representatividad al momento de dispersión experimental y teórica del sitio. Así, el de comparar resultados provenientes de técnicas set de parámetros que genera la solución del invasivas frente a los obtenidos utilizando MOS, problema directo (la curva de dispersión teórica) más cercana a los datos experimentales (la curva de dispersión experimental) se considera como solución del problema inverso. Sin embargo, todos los problemas inversos son inherentemente mal condicionados desde el punto de vista matemático, por lo cual no poseen solución única. Esto implica que existen varios perfiles Vs con el mismo error asociado respecto a la curva de dispersión experimental. Por lo tanto, la interpretación de resultados se debe realizar teniendo en cuenta no solo la incertidumbre propia de los datos experimentales. sino que también otros elementos de juicio ingenieril como, por ejemplo, contexto geológico del sitio e información previa de sondajes u otros ensayos geofísicos. El perfil de velocidad de ondas de corte que se determine para el sitio se debe contrastar y reportar en paralelo con la estratigrafía obtenida del sondaje geotécnico. De no existir compatibilidad entre ambos, se debe volver a analizar la información y, de ser necesario, repetir la exploración hasta obtener consistencia entre estratigrafia directa e indirecta.

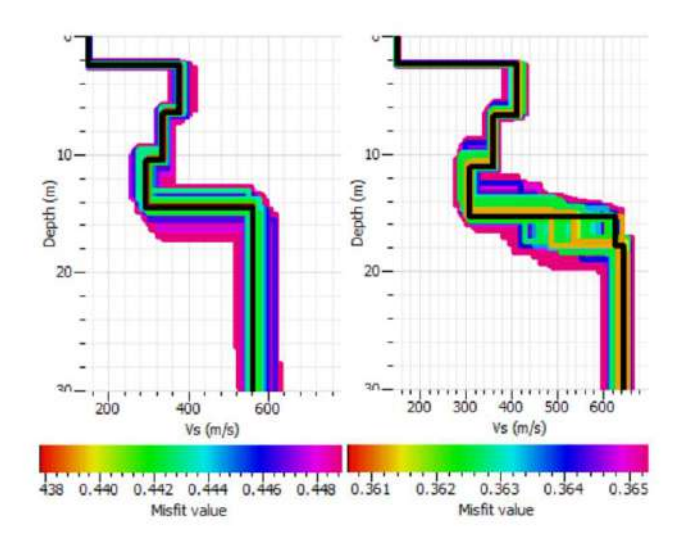
4.2.2.1 La clasificación sísmica de todo sitio requiere como elemento básico conocer la estratigrafía del subsuelo en una profundidad mínima de 30 m, medidos desde la superficie del suelo. Esto se debe llevar a cabo a través de la ejecución, como mínimo, de un sondaje geotécnico con toma de muestra. En el caso de sitios con presencia de suelos arenosos, limosos, o arcillosos, se debe cumplir con NCh3364.



Perfil Vs con sondaje







<u>Perfil N°1</u> Vs_30 = 379.80 m/s

Perfil N°2 Vs_30 = 403.67 m/s



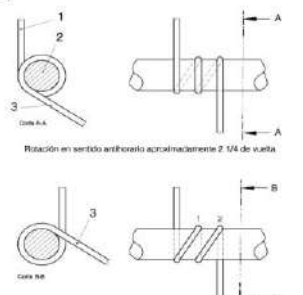
REQUISITO SONDAJE

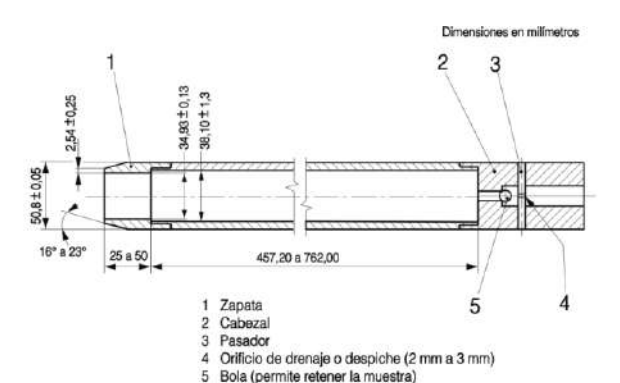


3.- PARÁMETROS GEOTÉCNICOS DEL TERRENO

La clasificación sísmica de todo sitio requiere como elemento básico conocer la estratigrafía del subsuelo en una profundidad mínima de 30 m, medidos desde la superficie del terreno. Esto se debe llevar cabo a través de la ejecución, como mínimo, de un sondaje a rotación de 30 m de profundidad. En el caso de terrenos con presencia de suelos arenosos, limosos, o arcillosos, se debe cumplir con la norma Chilena NCh 3364, Geotecnia — Ensayo de Penetración Estándar.

5.2 Número de vueltas de cuerda, el número de veces que la cuerda es enrollada completamente alrededer del tambor. El mesago de resistancia a la pentivación se liver a cabo dundo de vueltas nominales alrecedor del tambor. Dependendo de la poseción del operador, a direcedor del tambor del angulo a cual la cuerta se separa del tambor, el número de vueltas varía entre 1 3/4 y 2 1/4 (ven Figura 1).





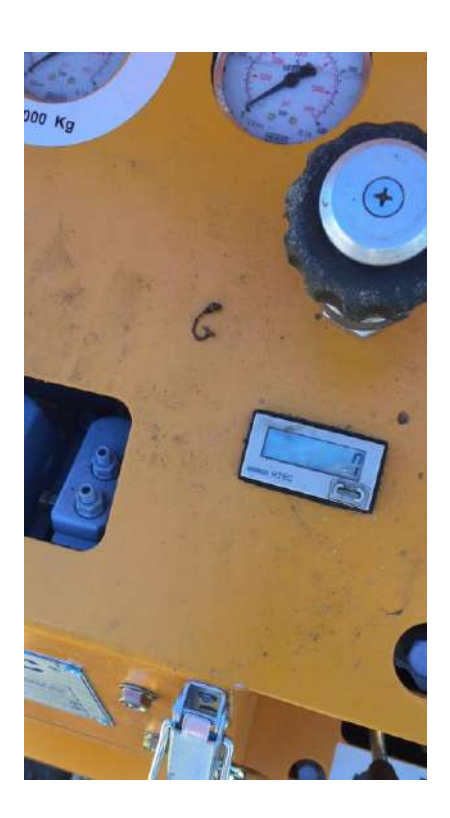


REQUISITO SONDAJE











Donde NO aplica el SONDAJE



- 4.2.1.3 Para efectos de clasificación sísmica del terreno se consideran como casos especiales los siguientes:
- Estructuras de menos de 500 m² construidos, de no más de 2 niveles y con una altura menor a 8 m, independiente de su clasificación de uso.
- Conjunto de viviendas en terreno de menos de 8 000 m², donde cada unidad es de no más de 2 niveles y de menos de 200 m² construidos.

En estos casos especiales no se requiere clasificar sísmicamente el sitio (no se exige un sondaje de 30 m), pero sí se requiere llevar a cabo el estudio geotécnico respectivo, cumpliendo como mínimo las disposiciones de NCh1508.

respectivo, cumpliendo como mínimo las disposiciones de NCh1508.

Si se opta por no clasificar sísmicamente el sitio (no se realiza un sondaje de 30 m) entonces las estructuras que califiquen como casos especiales se deben calcular y diseñar sísmicamente según el método estático, aplicando en su análisis el coeficiente sísmico máximo, C_{max} , asociado a Suelo Tipo E.

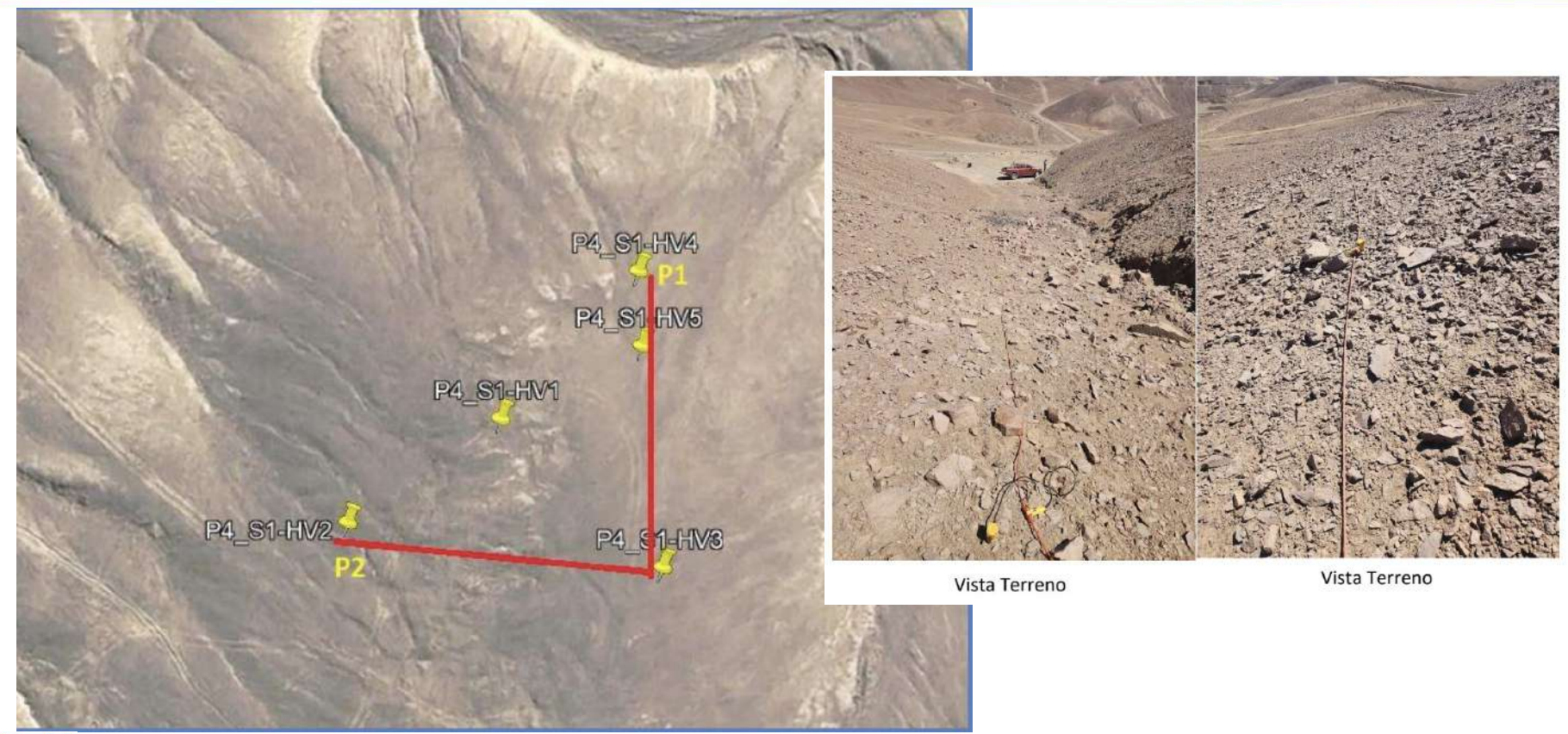




87	
88	1 Alcance y campo de aplicación
89	
90	1.1. Esta norma establece requisitos exigibles para la aplicación de técnicas basadas en ondas de superficie
91	para la obtención de la velocidad de propagación de onda de corte S en los primeros 30 m (Vs30) y el período
92	del sitio (Tg).
93	1.2. Esta norma se aplica a terrenos donde la hipótesis de estratigrafía horizontal se cumpla preferentemente.
94	es decir, que la distribución de materiales del subsuelo es adecuadamente representada por una secuencia de
95	capas horizontales homogéneas cada una de ellas de espesor constante.
96	1.3. Esta norma no es aplicable en sitios con pendientes superficiales superiores a 20° y con desniveles
97	superiores a 15 m. Cuando estos requisitos no se cumplan, existen métodos alternativos invasivos para obtener
98	Vs como downhole, crosshole entre otros.
99	
100	2 Referencias normativas
101	
102	Los documentos siguientes son indispensables para la aplicación de esta norma. Para referencias con fecha, sólo
103	se aplica la edición citada. Para referencias sin fecha se aplica la última edición del documento referenciado
104	(incluyendo cualquier enmienda).
105	
106	ASTM D5777-18, Standard Guide for Using the Seismic Refraction Method for Subsurface Investigation.
107	
108	

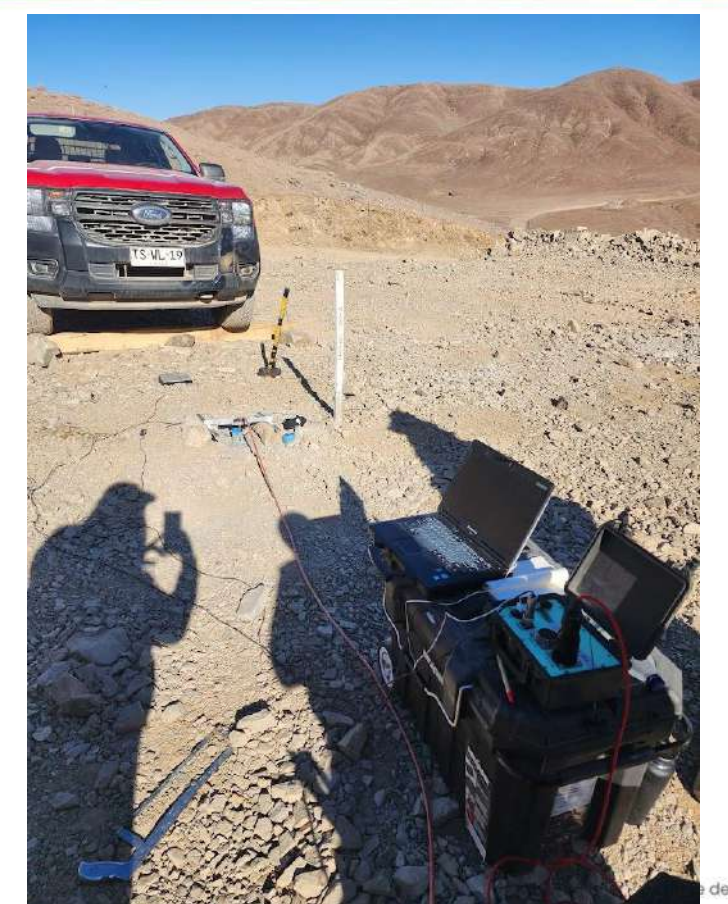












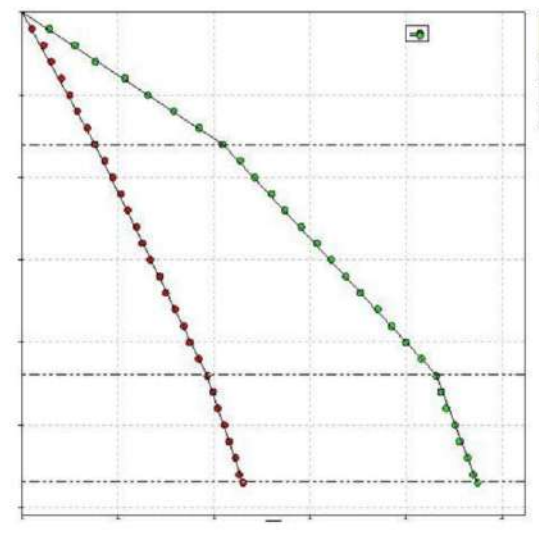








• 8 Ensayo Downhole.



Vs Estrato [-]	Profundidad [m]
383.37	8.02
629.06	21.96
1508.2	28.4

Fig. 12: Tabla Vs Downhole.

Vs_28.5 calculado por Downhole.

590.51 m/s

Fig. 13: Domocromas de onda "S" (Verde) y Onda "P" (Roja), profundidad máxima de sonda 28.5 metros.

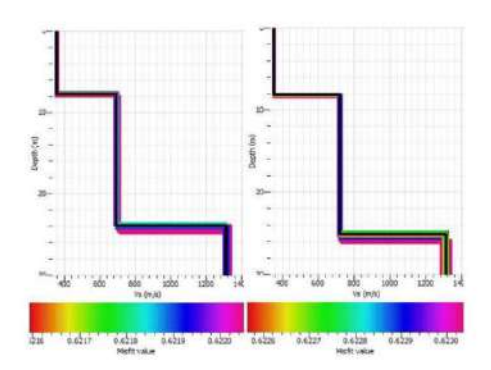


Fig. 9: Perfil de velocidades de corte (Vs) en estratos hasta 30m de profundidad. A la izquierda Perfil N°1 y a la derecha Perfil N°2.

Desde (m.)	Hasta (m.)	Velocidad (m/s
0.00	7.69	362.67
7.69	23.93	690.90
23.93	30.00	1316.12

Fig. 10: Perfil de velocidad de ondas de corte Vs, Perfil N°1.

8.13	362,49
25.16	721.19
30.00	1308.16
	127

Fig. 11: Perfil de velocidad de ondas de corte Vs, Perfil N°2.



Complementar geofisica Vp



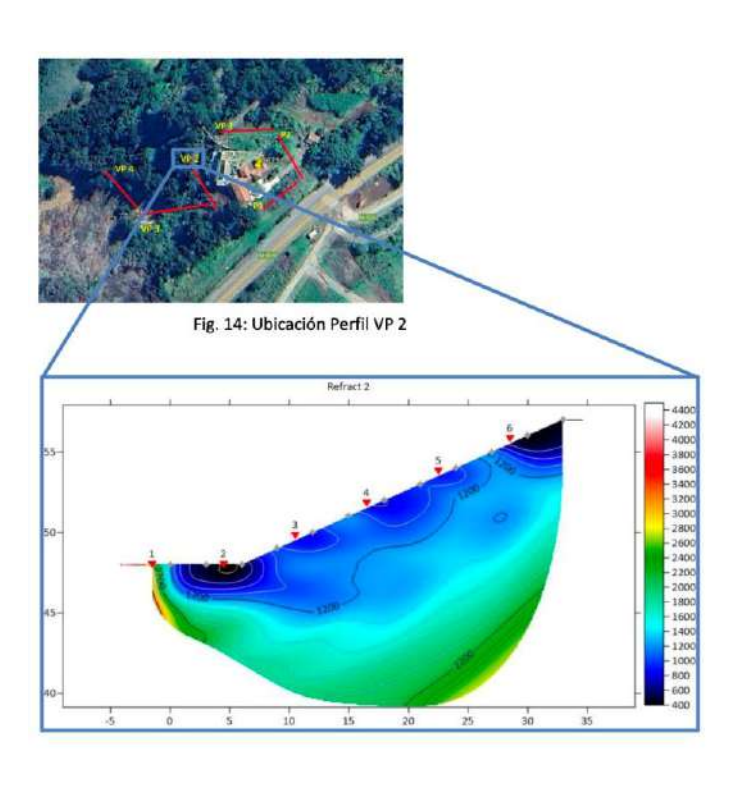




Figura N°17: Ubicación perfiles MASW y Tomografía.

Desde(m)	Hasta(m)	Velocidad (m/s)
0.00	3.84	261.39
3.84	14.51	384.50
14 51	30.00	914 62

Danfil Mot

Desde(m)	Hasta(m)	Velocidad (m/s)	
0.00	2.39	338.40	
2.39	19.83	497.69	
19.83	30.00	1049.66	

Perfil Nº2



Fig. 15: Perfil de ondas de compresión Vp, Perfil N°2.

Compatibilidad Vp , Vs sondaje y que cuadre







Figura N°17: Ubicación perfiles MASW y Tomografía.

Perfil Nº1

Desde(m)	Hasta(m)	Velocidad (m/s)
0.00	3.84	261.39
3.84	14.51	384.50
14.51	30.00	914.62

Perfil N°2

Desde(m)	Hasta(m)	Velocida (m/s)
0.00	2.39	338.40
2.39	19.83	497.69
19.83	30.00	1049.66



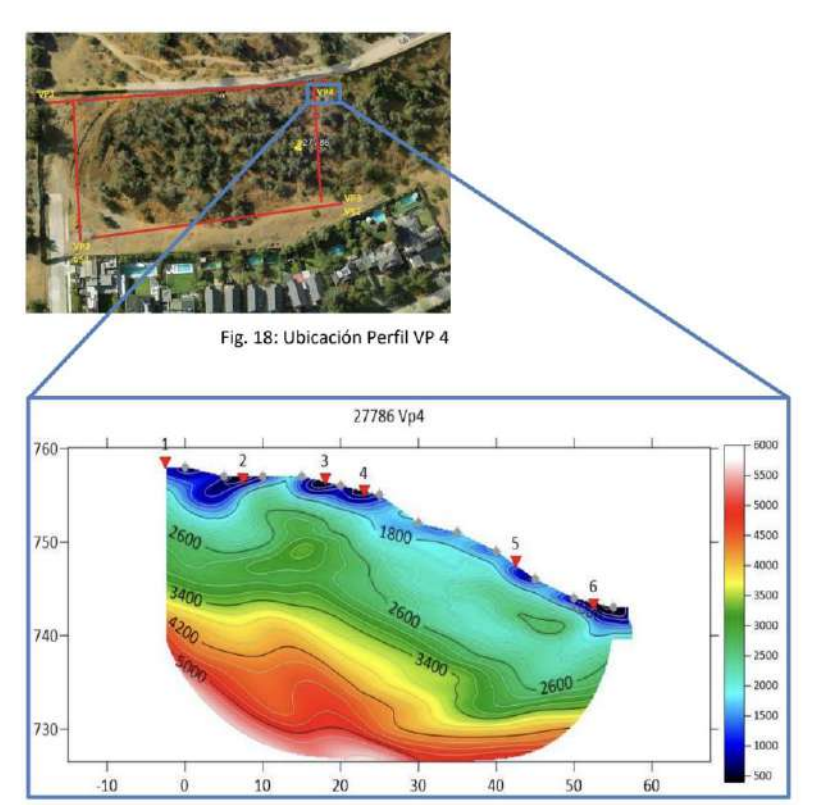
1.4. Imagen de ubicación de calicatas

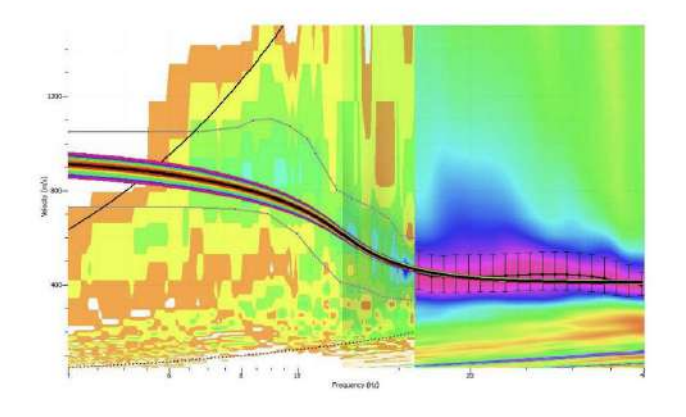


Figura N°3: Ubicación calicatas











	cxp.	iorar.	
	N	úmero de Medicio	nes
Superficie a explorar	<5000 m ²	<10.000 m ²	>10.000 m ²
Tg	5	10	≥11
Vs30	2	4	≥5

Técnicas geofísicas sísmicas para la caracterización dinámica de sitios

7.1 Procesamiento

7.1.1 Procesamiento de mediciones de razón espectral H/V

7.2.1.1. Método Nakamura (H/V)

9.2 Tg

El valor de Tg seleccionado para el sitio debe ser consistente con las estratigrafías derivadas del perfil Vs, sondajes y otros antecedentes disponibles.

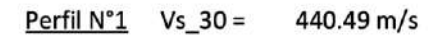
En el caso de que los valores de Tg obtenidos en una misma exploración conduzcan a clasificaciones sísmicas de sitio discrepantes, se debe efectuar o volver a analizar exploraciones complementarias para identificar el origen de dichas discrepancias hasta conseguir una caracterización coherente del sitio.



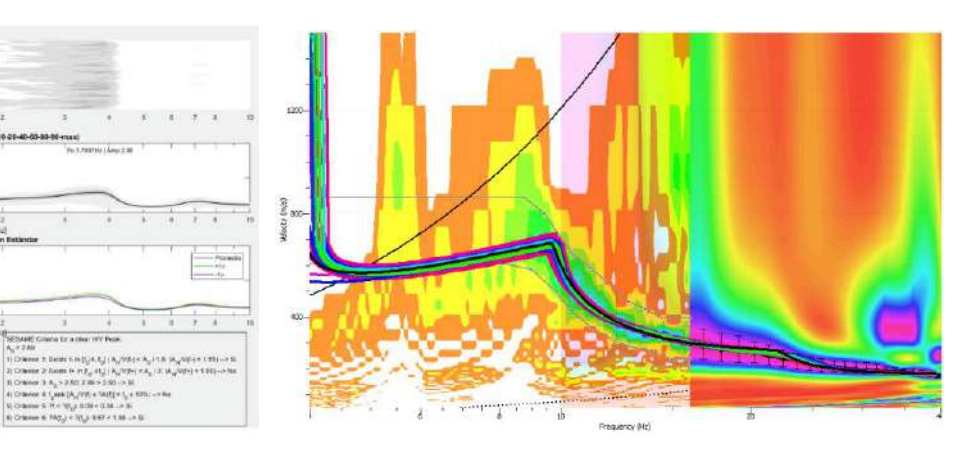
10

CASO INVERSION HUALAÑE





Perfil N°2 Vs 30 = 428.92 m/s



Estratigrafia

	Cotas [m]		Espesor		
strato	Inferior	Superior	[m]	Descripción Estratigráfica	
i	0,00	2,75	2,75	Arcilla color caté oscuro, consistencia baja, humedad media y plasticidad baja. Presencia de gravas dispersas de cantos sub-angulares de tamaño máximo 2°.	
11	2,75	7,00	4,25	Grava pobremente graduada de cantos sub-angulares y tamaño máximo 1º, Con matriz de arens limosa color café oscuro, humedad media, compacidad alta y plasticidad baja.	
III	7,00	10,20	3,20	Arena limosa color negro, compacidad media y humedad alta. Presencia de lente de arcilla de baja plasticidad.	
īV	10,20	23,65	13,45	Grava mal graduada de cantos sub-angulares y sub- redondeados, tarmaño máximo 3º. Con matriz arenosa colo- café oscuro de humedad alta.	
٧	23,65	25,50	1,85	Conglomerado color café con clastos sub-engulares de tamaño máximo 1º y matira arenosa de humedad alta Presencia de zonas en que predomina completamente la matriz (arenisca).	
VI	25,50	33,00	7,50	Arciliotita color café claro de consistencia alta y plasticidad alta. Presencia de zonas con clastos de canto sub-angulares de tamaño máximo 1".	
VII	33,00	61,45	28,45	Conglomerado color café oscuro con citastos sub-angulares y sub-redondeados, tamaño máximo 4" y matriz arenosa. Presencia de zonas en que predomina completamente la matriz, [arenisca].	

Periodo

CLOTTED (1-1) SESANE CONTO LY a clear HV Feak.

E Creener It A₄ > 2 Att 3 (6) > 2 (0) -> (6)

St Gramm S. H. e. W. p. 0.08 e 0.18 . Jr St. 6) Crismon 6: 7A(1,) < 5(1,) 1887 < 1.88 ... S

Vs

Sondaje

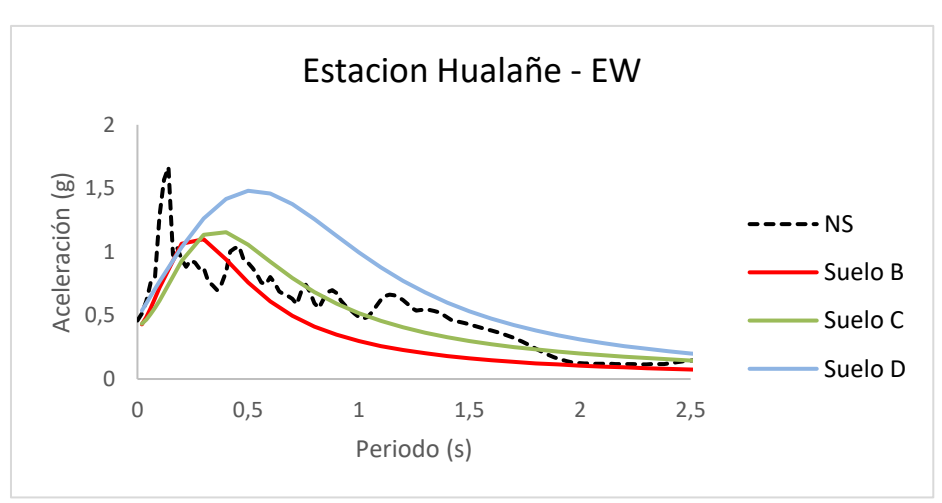


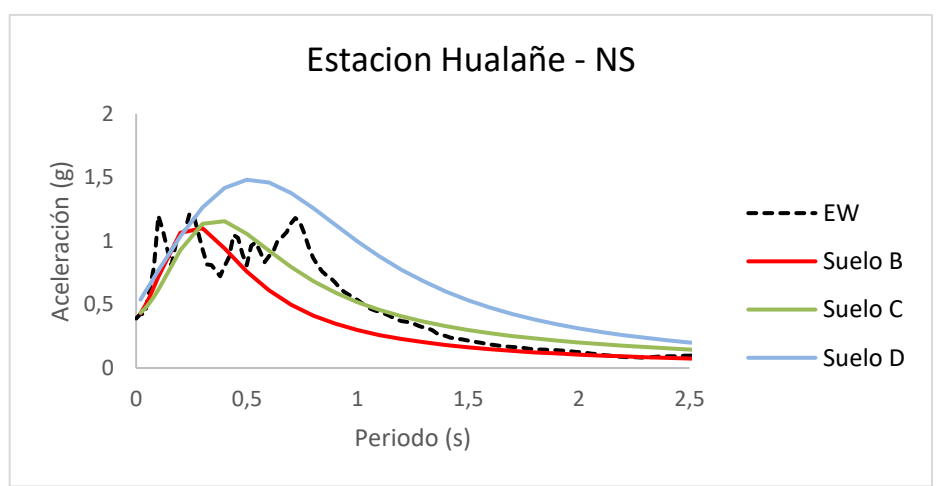
955446 Grierus to a relative HFF curve 0 Eg = 10.1 Lg/ 3.77 mt. 30 -- 10 114,F,) > 200 | 14881 (E) × 200 --> 51

m = 00 + 3.00 to 0.00, < 2 < 20, 30

CASO INVERSION







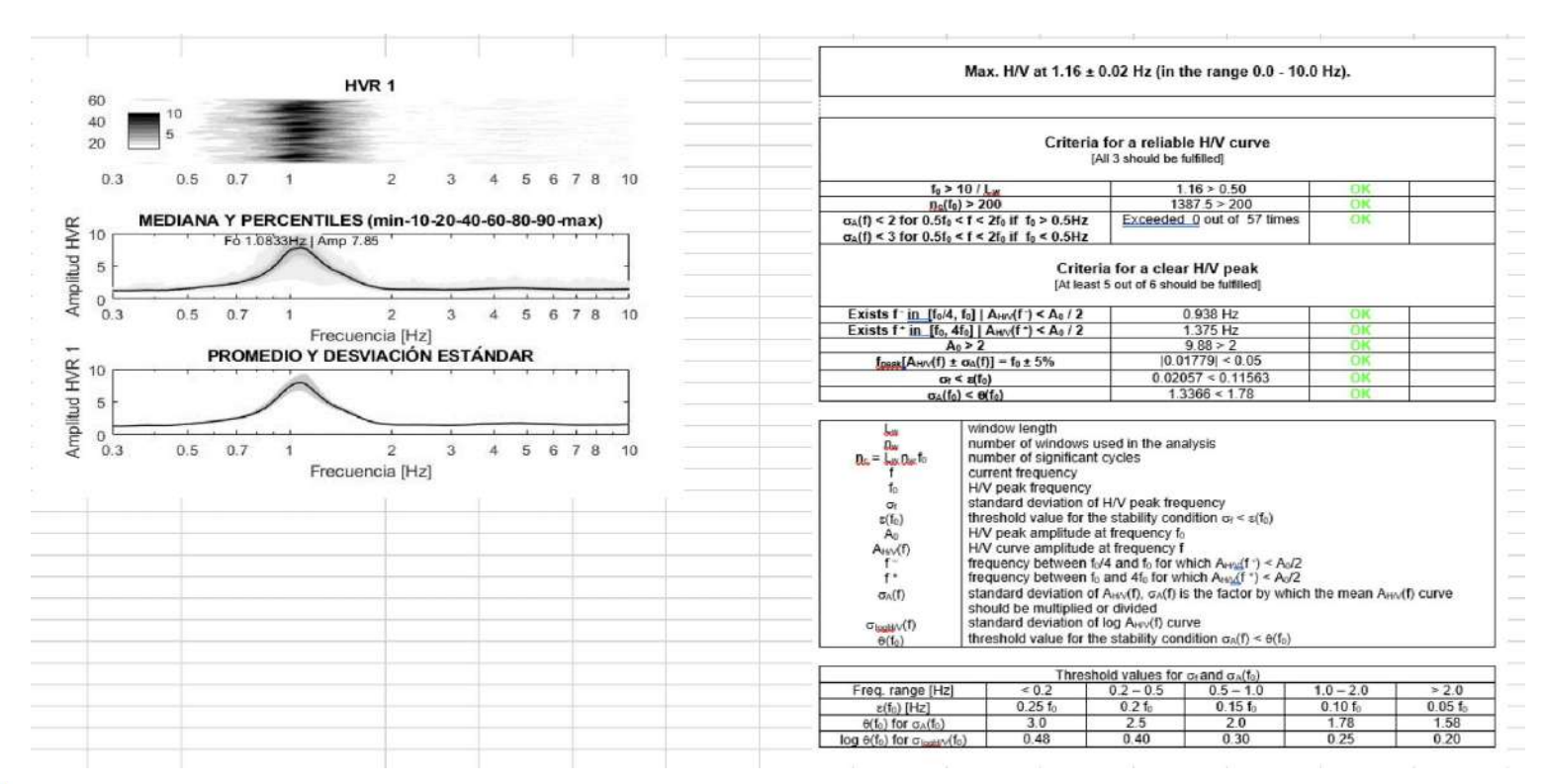
<u>Perfil N°1</u> Vs_30 = 440.49 m/s <u>Perfil N°2</u> Vs_30 = 428.92 m/s

Hualañe 2010Mw= 8.8



Criterio SESAME

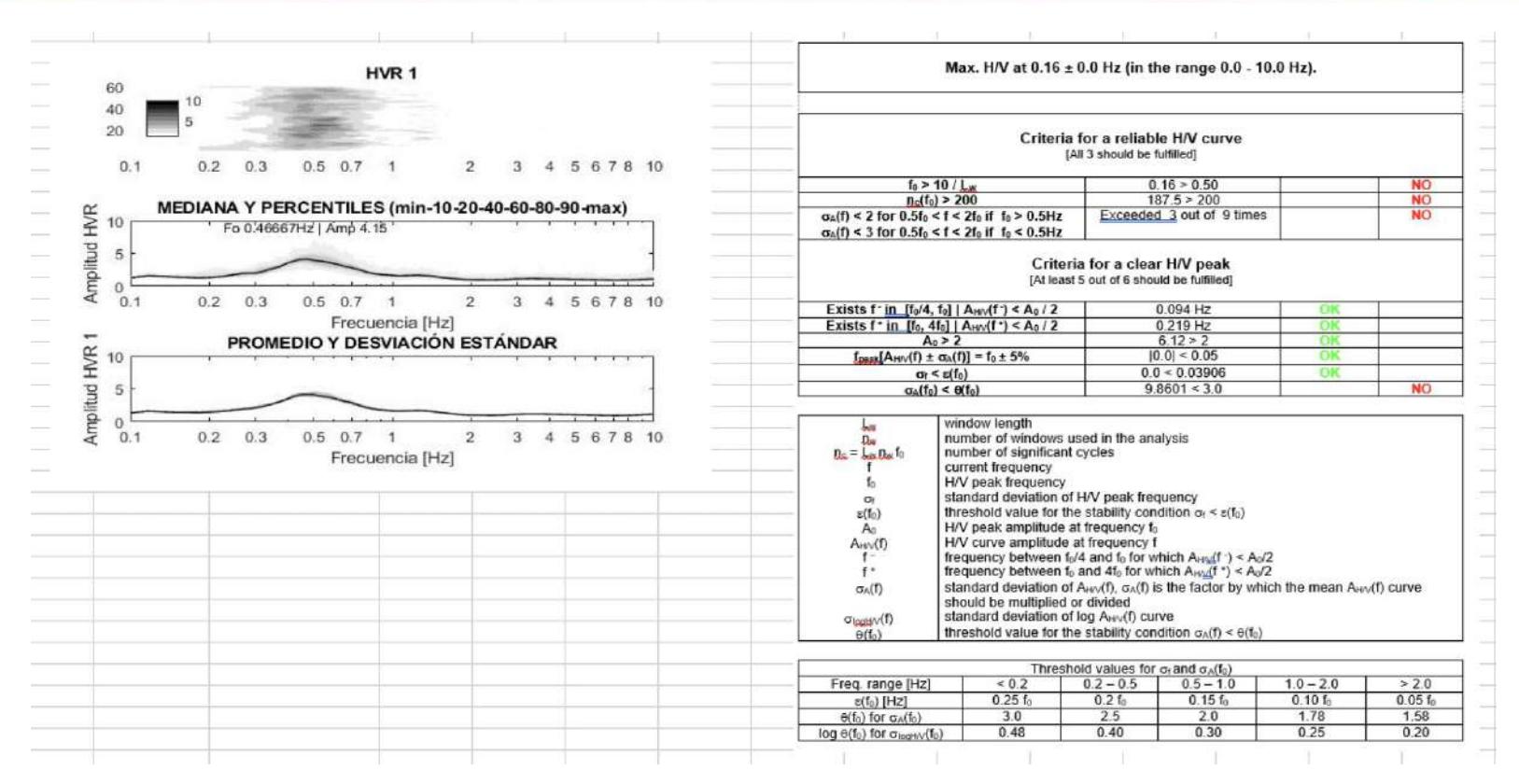






Criterio SESAME

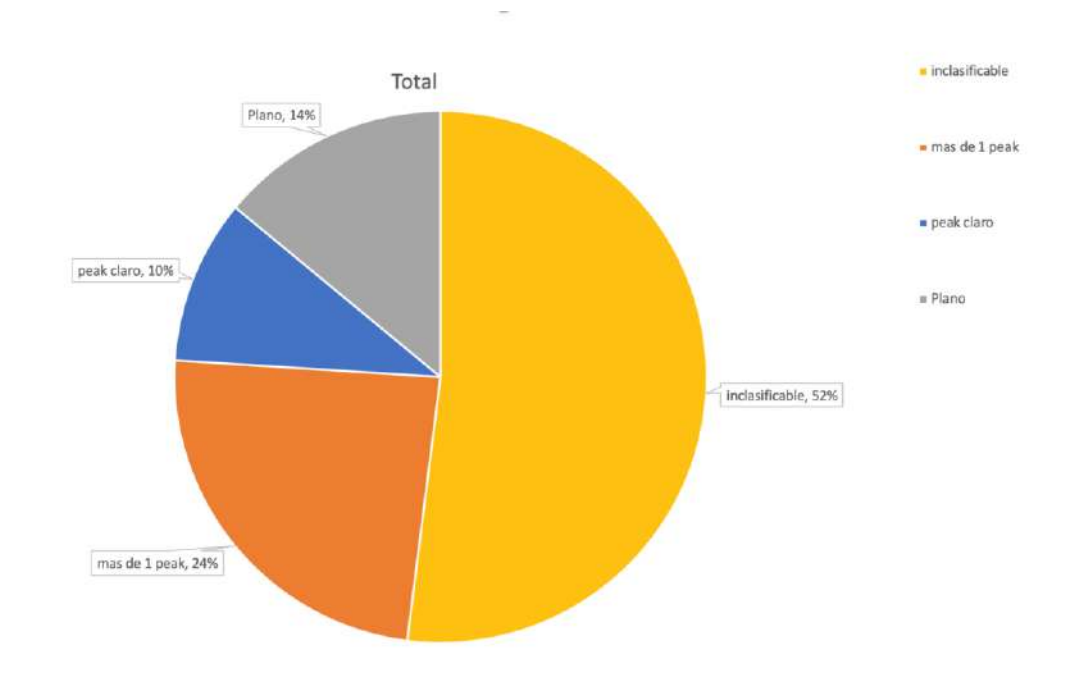






Criterio SESAME

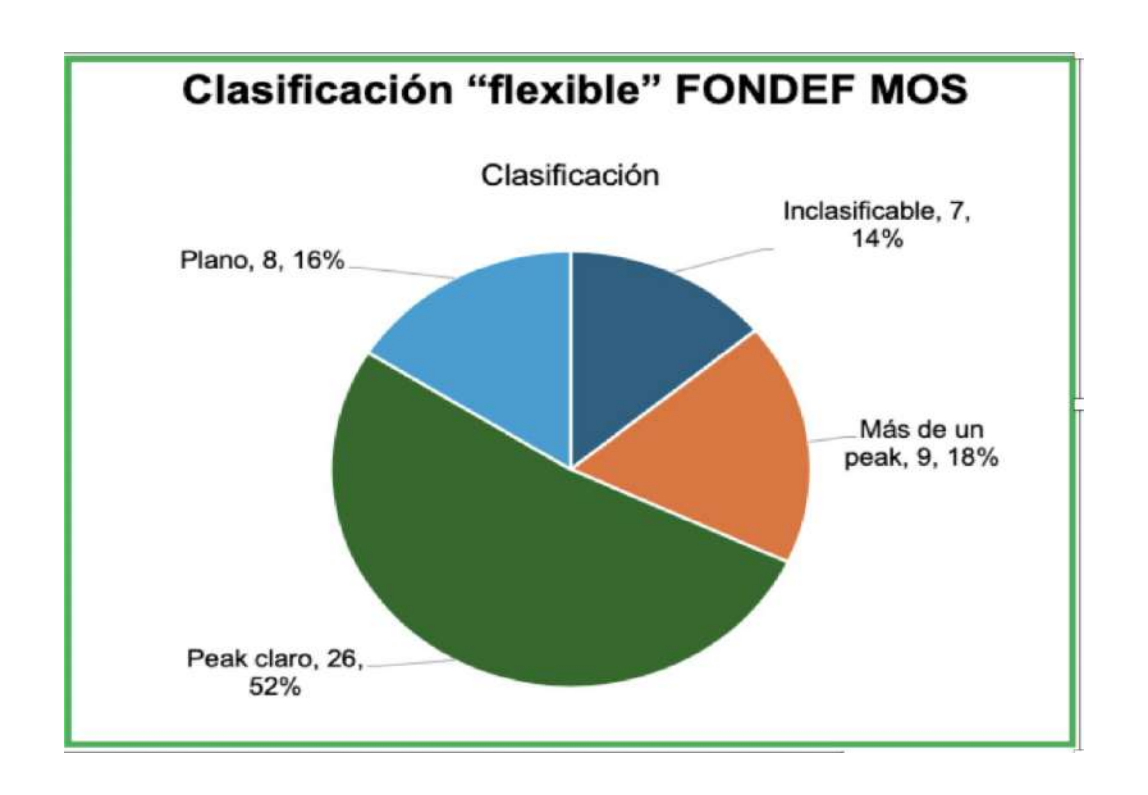






Criterio de la norma Chilena: Nch 3793







Ajuste diferente al SESAME



7.1.2 Razón espectral H/V

7.2.2.1 Criterios de confiabilidad

La confiabilidad implica estabilidad, es decir, que la curva H/V obtenida de las mediciones sea representativa del sitio en estudio. Se debe asegurar, para toda medición, el cumplimiento de los siguientes tres criterios:

- Para que un <u>peak</u> sea significativo, debe cumplirse que $f_0 > 10/l_w$. Esto para que, en el rango de la frecuencia de interés, existan al menos 10 ciclos significativos en cada ventana.
- El número total de ciclos significativos (n_c) debe ser mayor a 200.
- Se necesita un bajo nivel de dispersión entre todas las ventanas, por lo que $\sigma_A(f) < 2.2$ para $f_0 > 0.5 Hz$, o $\sigma_A(f) < 3$ para $f_0 < 0.5 Hz$, en un rango de frecuencia al menos igual a $[0.5f_0, 2f_0]$.

7.2.2.2. Criterios de peak claro

Se deben cumplir al menos 5 de las 6 condiciones para verificar que el <u>peak</u> de la curva H/V es claro:

Condiciones de amplitud:

Existe una frecuencia f^- entre $f_0/4$ y f_0 , tal que A0/4 AH/V(f^-) >1.6

Condiciones de estabilidad:

La frecuencia peak debe cumplir con lo siguiente:

$$f_{peak}[A_{H/V}(f) \pm \sigma_A(f)] = f_0 \pm 10\%.$$

La desviación estándar de la frecuencia peak debe cumplir con: $\sigma_f < \varepsilon(f_0)$ con el umbral detallado en Tabla 5.

La desviación estándar de la amplitud <u>peak</u> debe cumplir con: $\sigma_A < \theta(f_0)$ con el umbral detallado en Tabla 5.

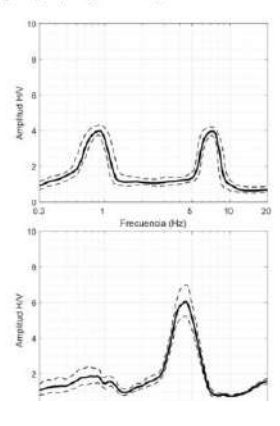
Tabla 5 - Valores umbral para condiciones de estabilidad.

Rango de frecuencia (Hz)	$\varepsilon(f_0)/f_0$	$\theta(f_0)$		
< 0.2	0.25	3		
0.2 - 0.5	0.20	2.5		
0.5 - 1.0	0.20	2.0		
1.0 - 2.0	0.20	1.78		
> 2.0	0.10	1.58		

Curva de múltiples <u>peaks</u>: Este tipo de curva s define para sitios que presentan más de un frecuencia <u>peak</u>. Los múltiples <u>peaks</u> pueden no cumplir con los criterios de <u>peak</u> claro, de li cual se puede generalizar lo siguiente:

Se considera la frecuencia predominante (f_0 como la menor entre los múltiples <u>peaks</u> qu cumplen con al menos tres de las sei verificaciones de la sección 7.2.2.2 (criterio de <u>peak</u> claro). (e.g., Figura 15a).

Para el caso excepcional en el que sólo un <u>pea</u> de los identificados sea considerado <u>peak</u> clar (según sección 7.2.2.2), éste se considerar como la frecuencia predominante del sitio (f_0 (por ejemplo, Figura 15b).







ALGUNOS CASOS CON INVERSION



CASO CON INVERSION

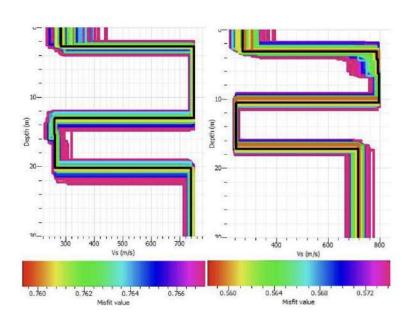


Profundidad (m)		Muestras		Profundidad (m)		Ensayo de Penetración Estándar				
Desde	Hasta	Descripción Visual del Suelo	N.	Tipe	Desde	Hasta	N1	N2	N3	NT
0,00	1,00	Relieno arcilloso de color café.	1	наз	0,00	1,00				
1.00		Arcilla con un porcentaje medio	2	CN	1,00	1,45	7	12	11	23
	de arena de color café.		3	HQ3	1,45	2,00				11 4-2
		plasticidad media, humedad media, consistencia alta,	4	CN	2.00	2,45	12	16	21	37
			5	ноз	2,45	2,60				9800
2,60	14,55	Grava en matriz areno limosa de color gris, humedad media, compacidad alta. A partir de los 4,00 mts. no se realiza ensayo SPT por presencia de gravas mayores a 2".	б	наз	2,60	3,00				
			7	CN	3,00	3,45	12	20	32	52
			8	наз	3,45	14,55				
14,55	clero, plasticida humedad medi alta. Prensa un limosa tipo por 19,55 a 20,55 m lente de arena		9	CN	14,55	15,00	6	7	9	16
		Limos y arcillas de color café claro, plasticida d'media a baja, humedid media, consistencia alta. Prensa un lente de arena limosa tipo pomocita desde los 19,55 a 20,55 mts. Presenta un lente de arena arcillosa desde los 21,55 a 22,00 mts.	10	HQ3	15,00	15,55				100000
			11	CN	15,55	16,00	4	6	9	15
			12	HQ3	16,00	16,55				930
			13	CN	16,55	17,00	9	10	18	28
			14	HQ3	17,00	17,55				980
			15	CN	17,55	18,00	8	13	18	31
			16	HQ3	18,00	18,55				9000
			17	CN	18,55	19,00	16	15	17	32
			18	HQ3	19,00	19,55				95355
			19	CN	19,55	20,00	20	25	26	51
			20	HQ3	20,00	20,55				920
			21	CN	20,55	21,00	8	11	11	22
			22	HQ3	21,00	21,55				555
			23	CN	21,55	22,00	9	11	13	24
			24	HQ3	22,00	22,55				888
			25	CN	22,55	23,00	19	13	30	43
23,00	30,00	Grava en matriz areno arcillosa de color café grisáceo, humedad media, compacidad alta. No se realiza ensayo SPT por presencia de gravas mayores a 2".	26	ноз	23,00	30,00				







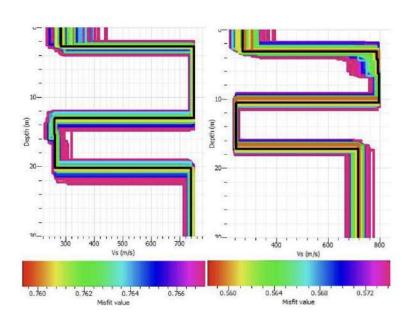


<u>Perfil N°1</u> Vs_30 = 461.36 m/s

<u>Perfil N°2</u> Vs_30 = 455.67 m/s







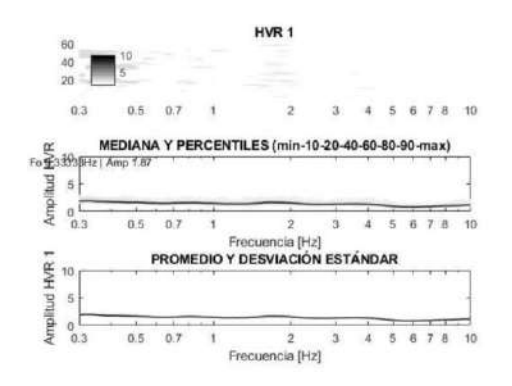
<u>Perfil N°1</u> Vs_30 = 461.36 m/s

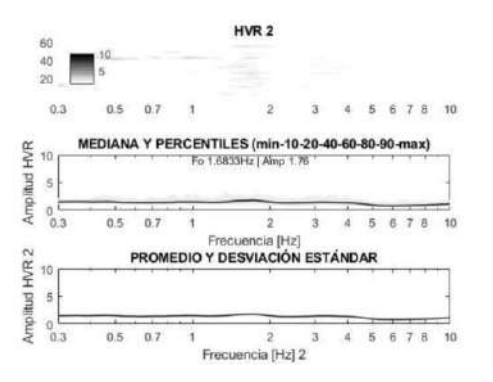
<u>Perfil N°2</u> Vs_30 = 455.67 m/s

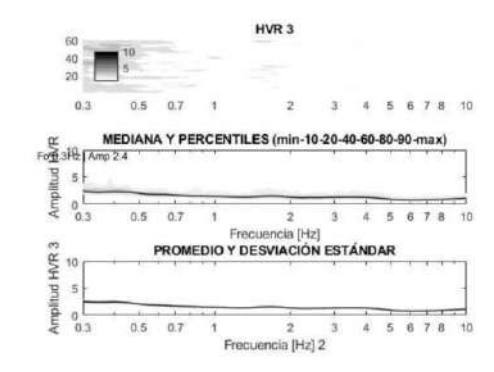
Como creen se ve H/V?

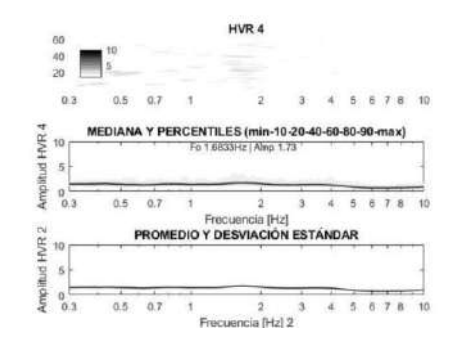


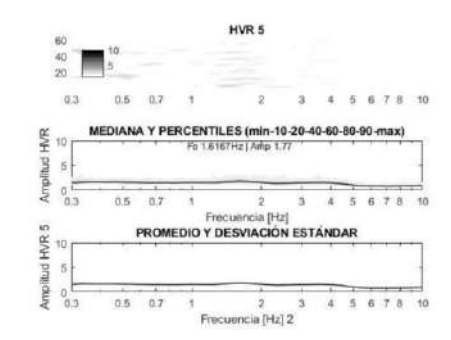














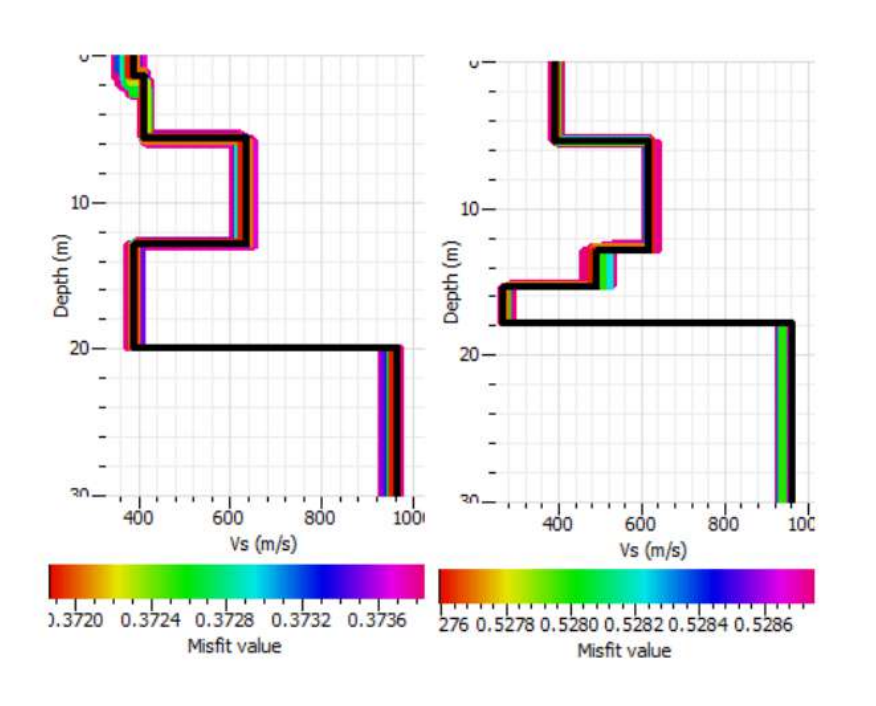


Profun	didad (m)	Descripción Visual del Suelo	Muestras Profundidad (m)		idad (m)	Ens	ayo de Penet	ración Estáno	ar	
Desde	Hasta	Descripcion Visual del Suelo	N*	Tipo	Desde	Hasta	N1	N2	N3	NT
0,00	0,05	Pavimento		ноз	0,00	0,05				
0,05	0,60	Relleno granular del tipo estabilizado.	1	HQ3	0,05	0,60				
0,60	13,00	Grava en matriz arenosa a areno limosa, color gris, humedad media, compacidad alta. No se realiza ensayo SPT por presencia de gravos mayores a 2".	2	наз	0,60	13,00				
13,00	14,00	Grava en matriz arcillosa con un alto porcentage de finos, color café ciaro, plasticidad media, humedad media. No se realiza ensayo SPT por presencia de gravas mayores a 2".	3	ноз	13,00	14,00				
14,00	19,00	Arcillas y limos con un porcentaje medio de arena, color cafe claro, plasticida baja, humedad media, consistencia media a alta.	4 5 6 7 8 9 10 11 12 13	CN HQ3 CN HQ3 CN HQ3 CN HQ3 CN HQ3	14,00 14,45 15,00 15,45 16,00 16,45 17,00 17,45 18,00 18,45	14,45 15,00 15,45 16,00 16,45 17,00 17,45 18,00 18,45 19,00	5 5 5 5	8 8 8 4	9 9 8 5	17 17 16 9
19,00	30,00	Grava en matriz areno limosa a limosa, color gris, humedad media, compacidad alta. No se realiza ensayo SPT por presencia de gravas mayores a 2°.	14	ноз	19,00	30,00				







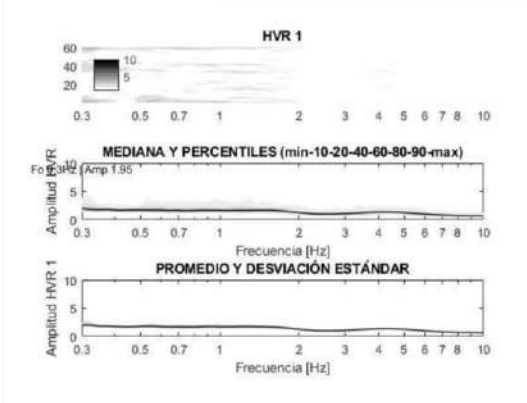


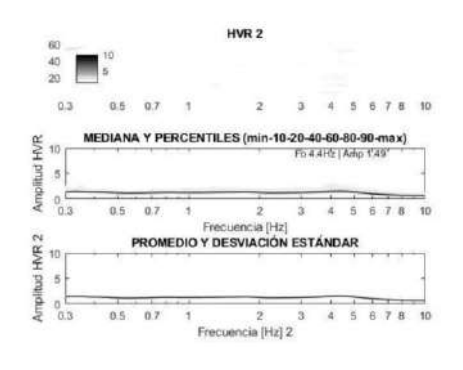
<u>Perfil N°1</u> Vs_30 = 556.35 m/s

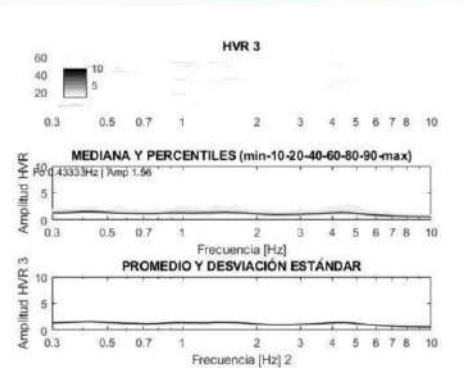
<u>Perfil N°2</u> Vs_30 = 558.54 m/s

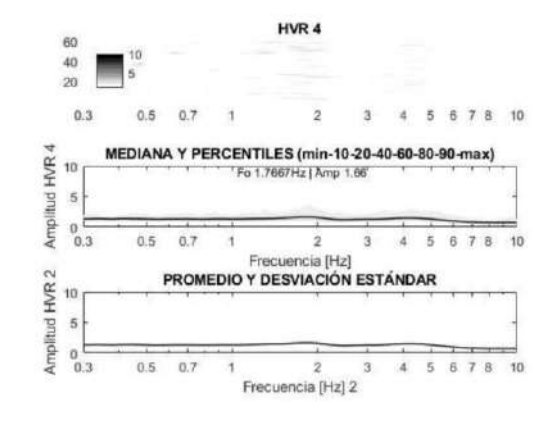


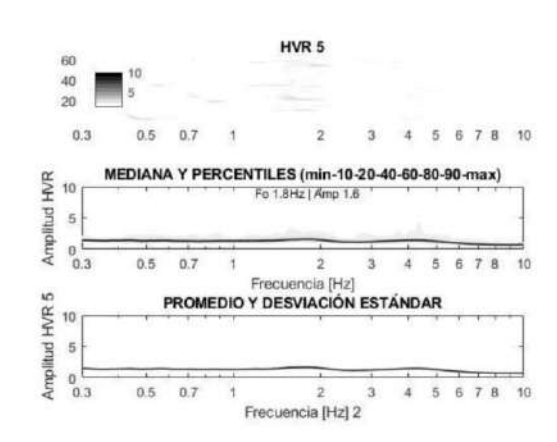














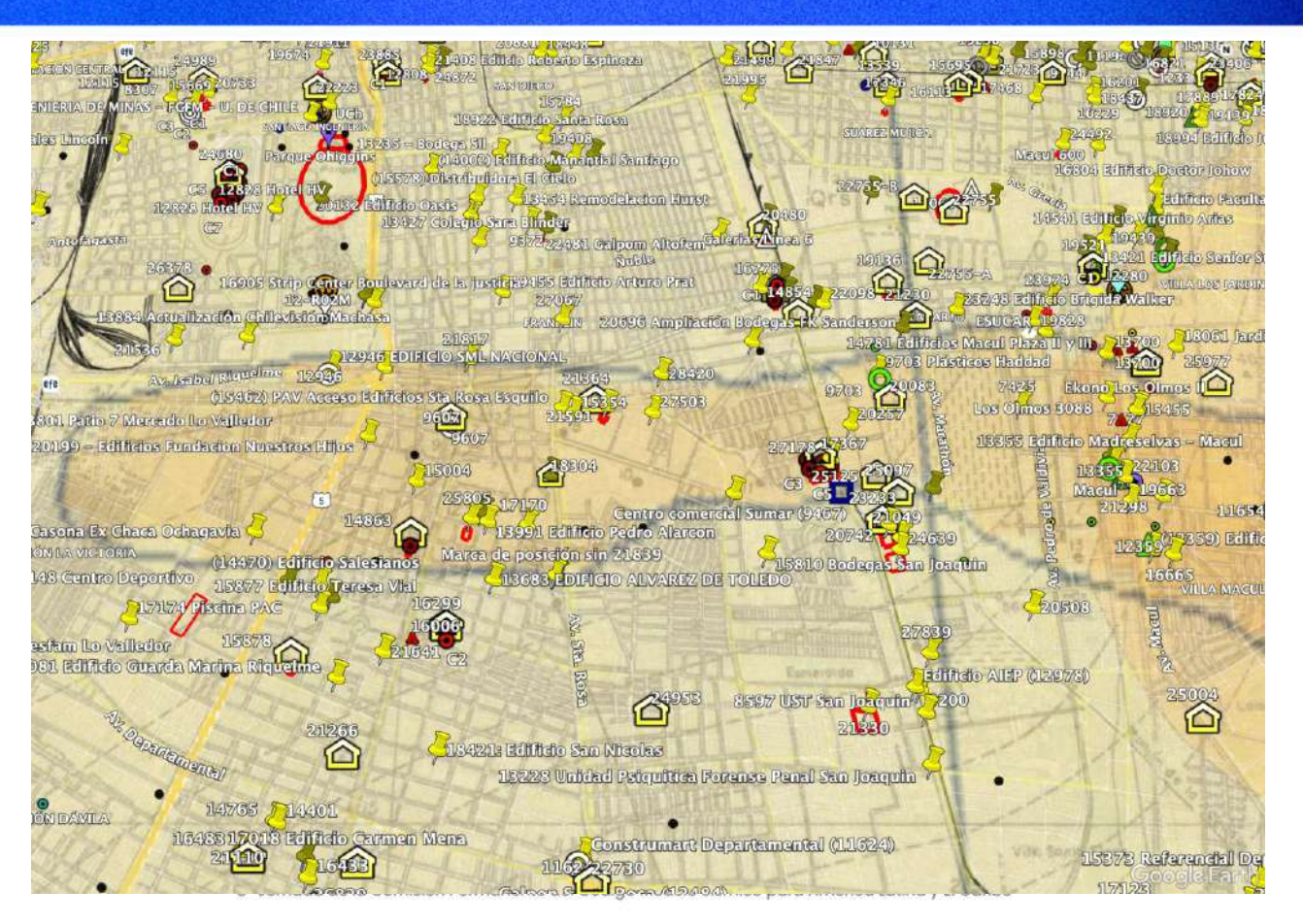
Importancia del Vs bien medido





Importancia del Vs bien medido







Importancia del Vs bien medido



329

Por sus características singulares, los sitios Tipo F requieren estudios específicos para determinar espectros de diseño, y/o seleccionar registros sísmicos. Los sitios Tipo F incluyen:



Configuraciones de estratos de suelos contiguos de rigideces muy diferentes, tal que la amplitud de la razón espectral H/V en la vecindad de Tg, estimada según NCh3793, debe ser mayor que 4,5. Estas configuraciones deben incluir un estrato con una velocidad de propagación de la onda de corte mayor que o igual a 650 m/s, dentro de una profundidad menor que o igual a 25 m.



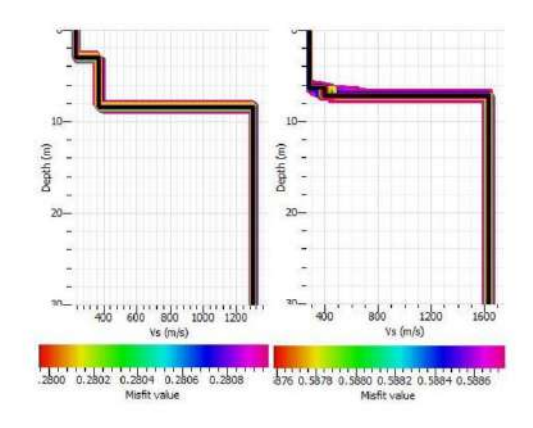


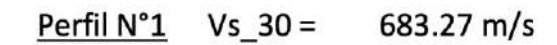
CASO ONDAS SOBRE 500m/S pero H/V no plano

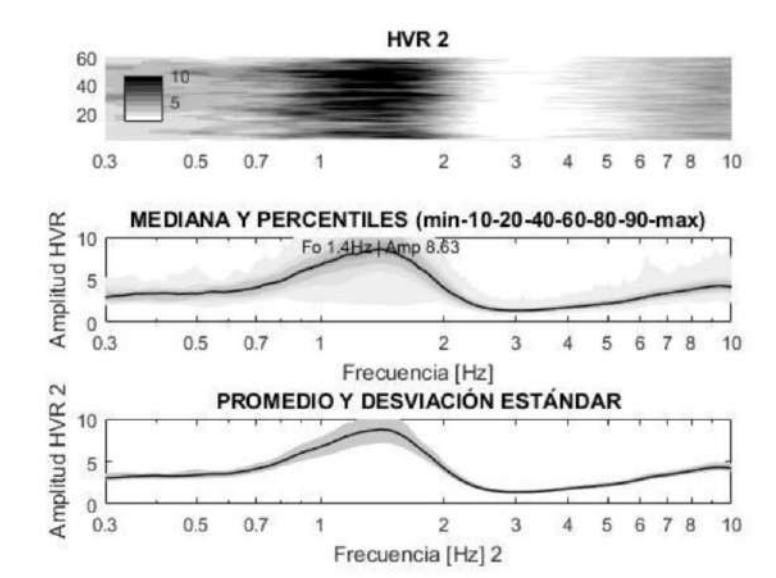








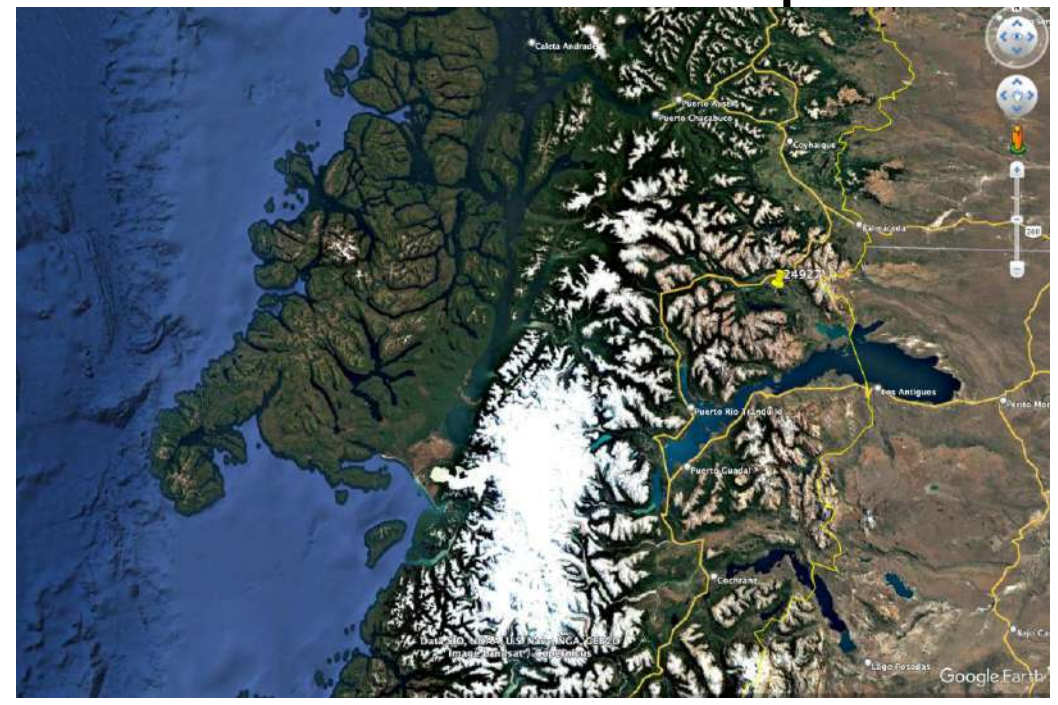








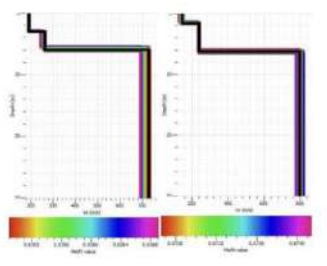
CASO ONDAS SOBRE 500m/S pero H/V no plano







CASO ONDAS SOBRE 500m/S pero H/V no plano



Perfil N°1 Vs_30 = 505.28 m/s Perfil N°2 Vs 30 = 507.71 m/s

Fig. 9: Perfil de velocidades de corte (Vs) en estratos hasta 30m de profundidad. A la izquierda Perfil N°1 y a la derecha Perfil N°2.

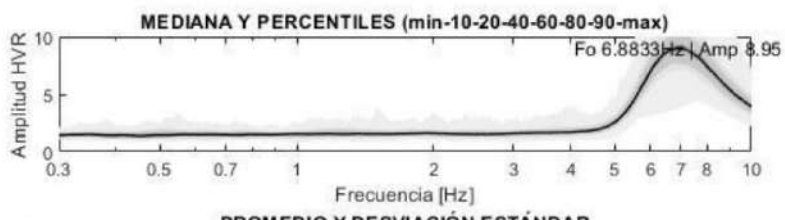
00		
MU.	2.96 199.47	
96	5.94 260.09	
94	30.00 727.42	
96 94		

Fig. 10: Perfil de velocidad de ondas de corte Vs, Perfil N°1.

0.00	1.24	
	1.57	151.62
1.57	6.19	243,81
6.19	30.00	799.40

Fig. 11: Perfil de velocidad de ondas de corte Vs, Perfil N°2.







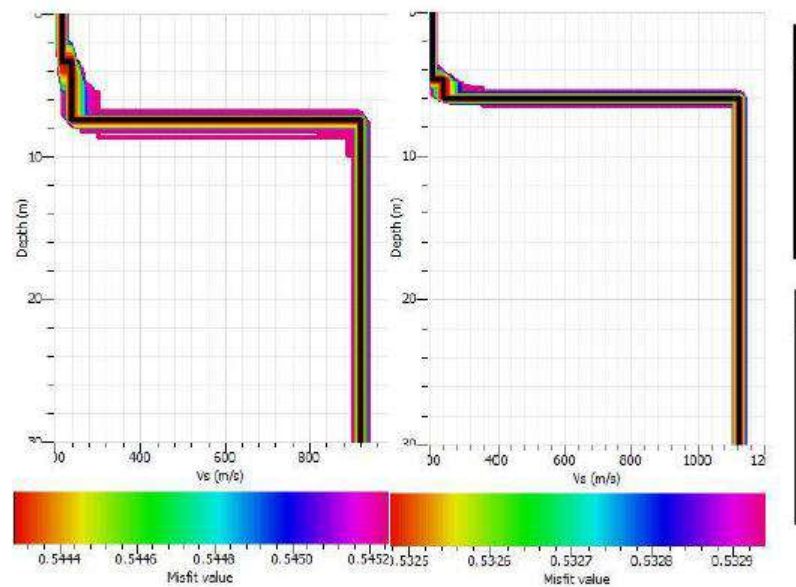


Estructura emplazada en la comuna de Calama con una superficie proyectada de 750m2 y 6m de altura









Desde (m.)	Hasta (m.)	Velocidad (m/s)	
0.00	3.34	216.69	
3.34	7.46	239.55	
7.46	30.00	919.77	
80000	1000000		
		1	

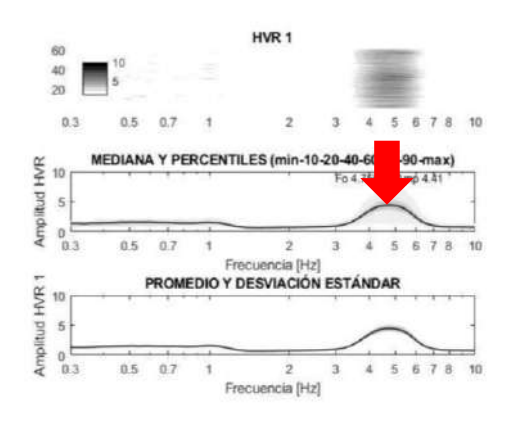
00	4.67		
	4.57	203.64	
57	6.02	244.08	
02	30.00 1	1120.58	
	0.000 2.7		

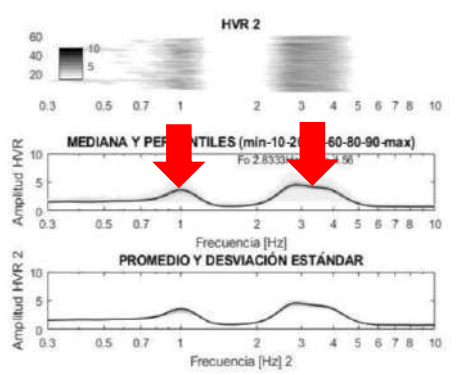
<u>Perfil N°1</u> Vs_30 = 525.22 m/s

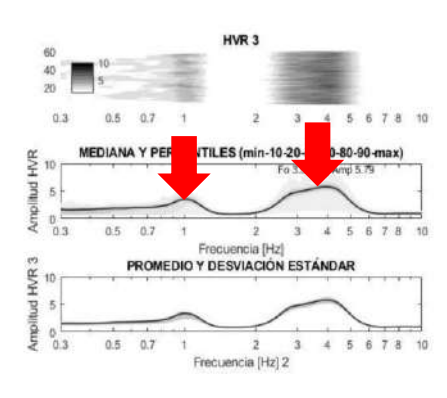
<u>Perfil N°2</u> Vs_30 = 602.63 m/s

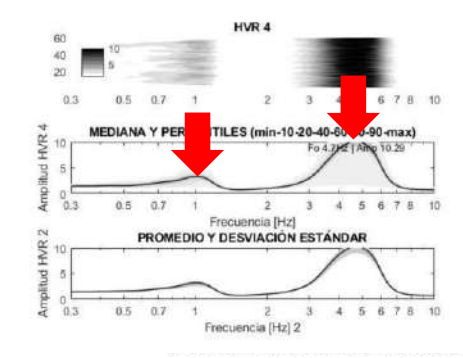


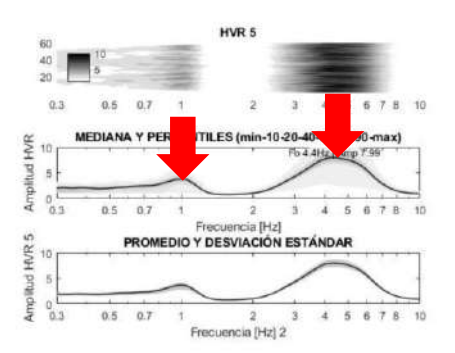




















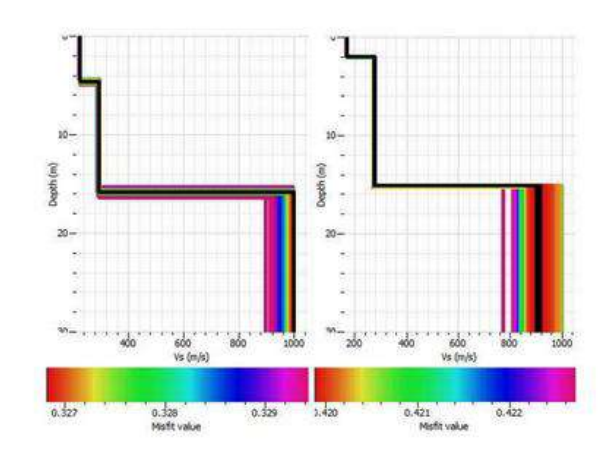


Fig. 9: Perfil de velocidades de corte (Vs) en estratos hasta 30m de profundidad. A la izquierda Perfil N°1 y a la derecha Perfil N°2.

0.00	
2.83	
15.12	
CONTRACT	

Fig. 10: Perfil de velocidad de ondas de corte Vs, Perfil N°1.

Desde (m.)	Hasta (m.)	Velocidad (m/s
0.00	2.11	175.11
2.11	15.25	278.98
15.25	30.00	937.80
	l .	

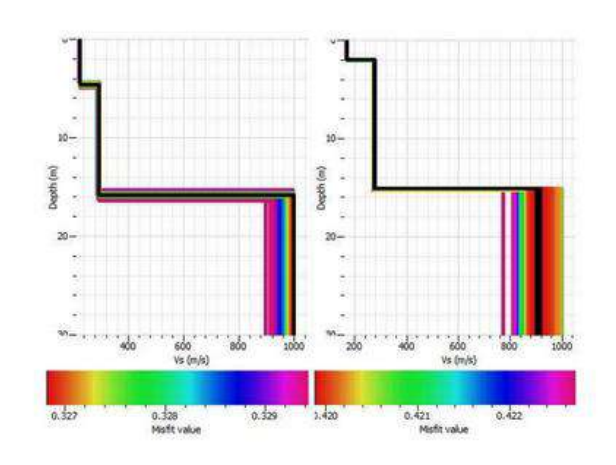
Fig. 11: Perfil de velocidad de ondas de corte Vs, Perfil N°2.

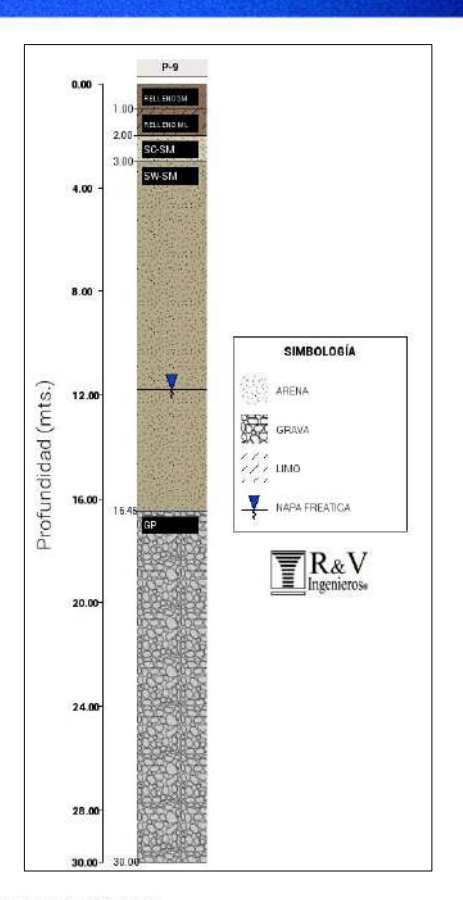
Perfil N°1 Vs_30 = 403.66 m/s

Perfil N°2 Vs_30 = 400.65 m/s



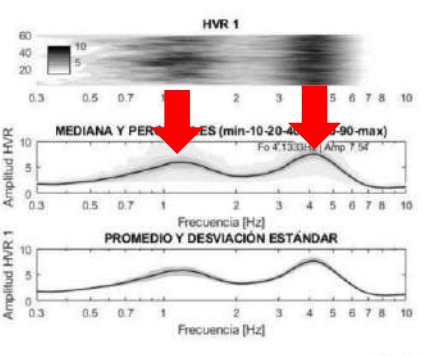


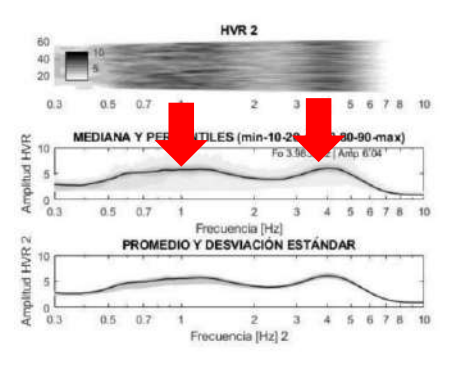


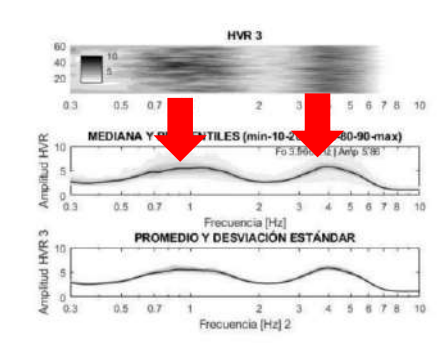


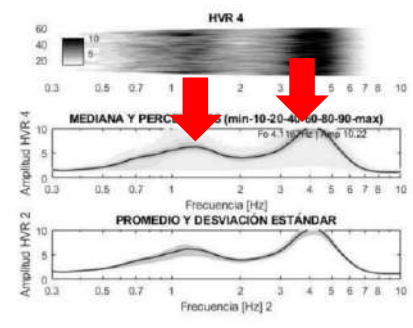


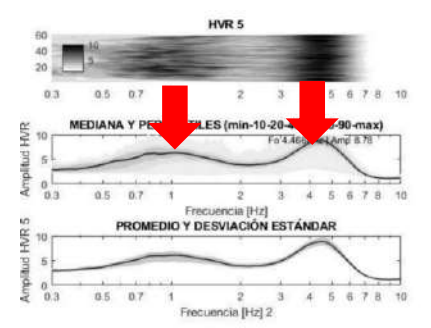












Chandle for parlametres: Pass y 7g se various mediune alement lustedies en codas de auperficie, se deben determinar según NCh4704.

La clarificación y cumicentración sismisca de suchos para el disecto estructural que se realice debe considerar los estratos de sucho que influyan en la respuesta sismisca de la estractiva on estudio. Se del definir las disposiciones de diseño adicionales a los presentados en esta norma que sean necesarias a fin de azuncturar nos hetrixos de desemento estableccidos.

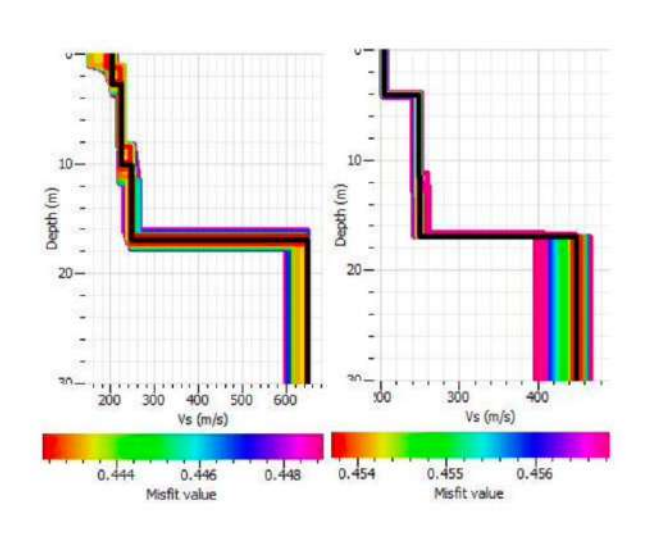
Canndo la información sobre el suelo de fundación permita clasificario denno de dos o prils tipos de suelo se debe optar por la Clasificación Sionica que resulte cuel paso más definosobile los into timos enasso de monopartititudes en la estrajentía del o promeros 80 m, e dese destante ovide a auxiliar exploraciones complementana uma identificar el origin de dichas discrepácios haza y musiquer um complementario estrenes del unita.

Para dissilicar un obto se debe utiliare la Talla di comunicación como prime requisione el visibe de l'acid a sistilicar escribir, lo mente se escoleber un primero, podebe el cinificación, para priface esto desidificación, se debe esefficar el complicareno del pariodo, prodominano, T_o, determinabilitate el trita, line l'acono, ma se compte a Suspinio requisita (primodo prodominano, T_o, adestro un Table 4, la primera posible charifricación es edube reducir en un grado. Sin entrango, el code para lás el duedo debe ser el mayor entre el destructio con la contractiona de mado. Sin entrango, el code para lás el duedo debe ser el mayor entre el destructio con la contracticación debido si in primera telado por l'acid.

La clasificación sismico requirre conocer la estratigraria del nuesuelo hasta una prohuncidad minima de 30 m. circlidos reade la superficie estural del terrente.





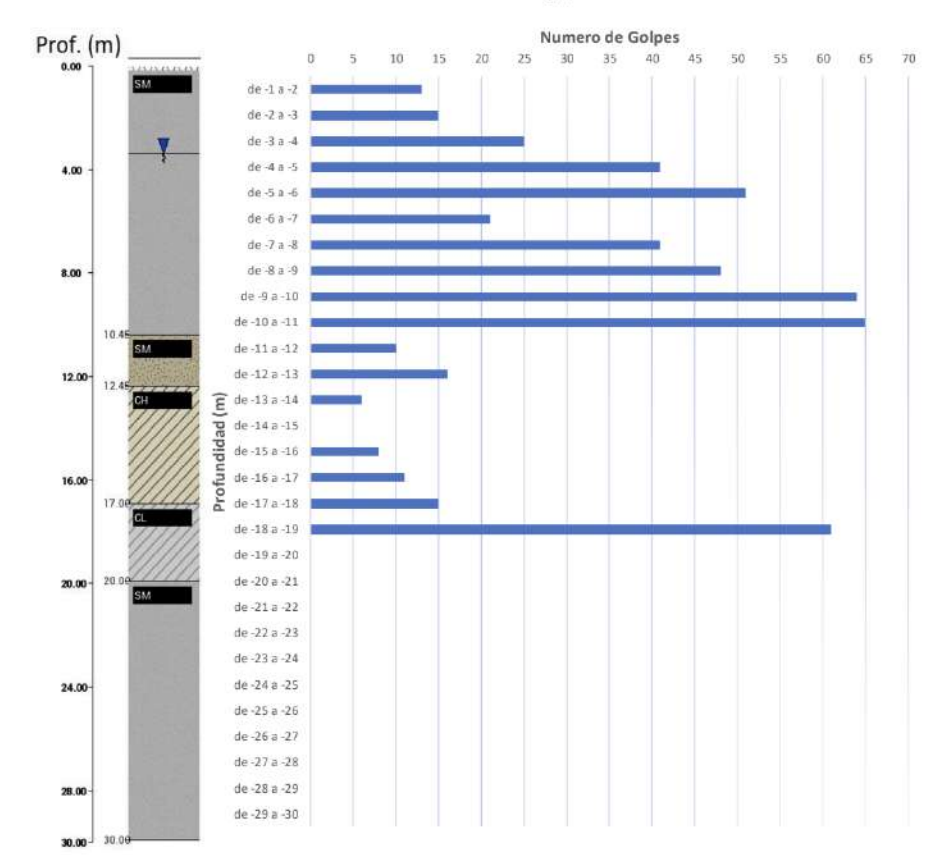






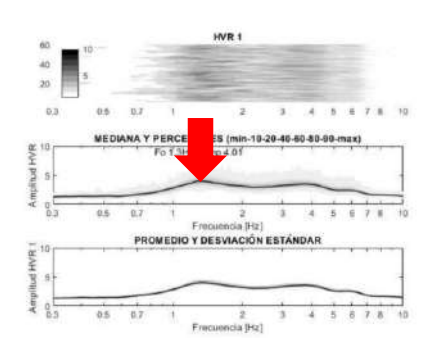


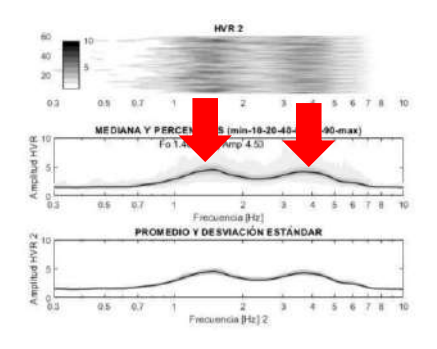


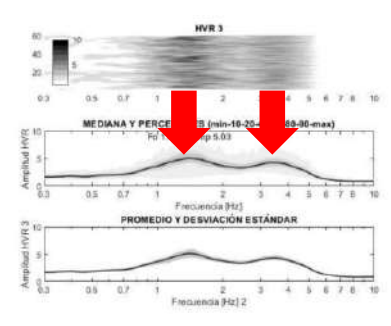


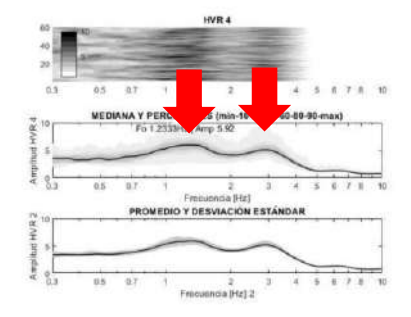


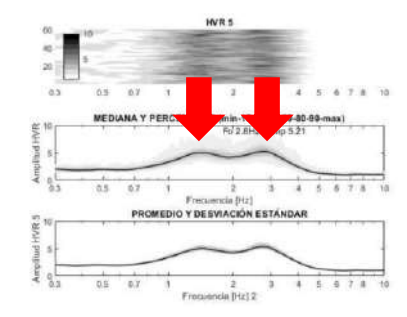






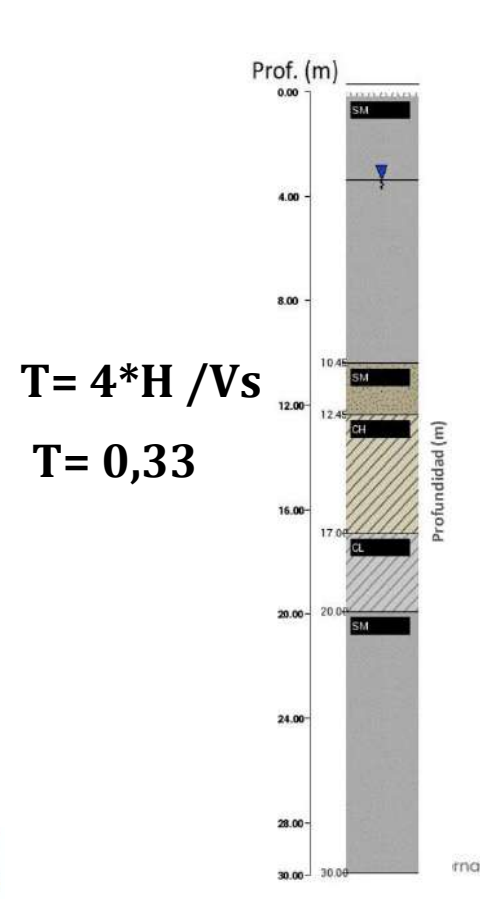


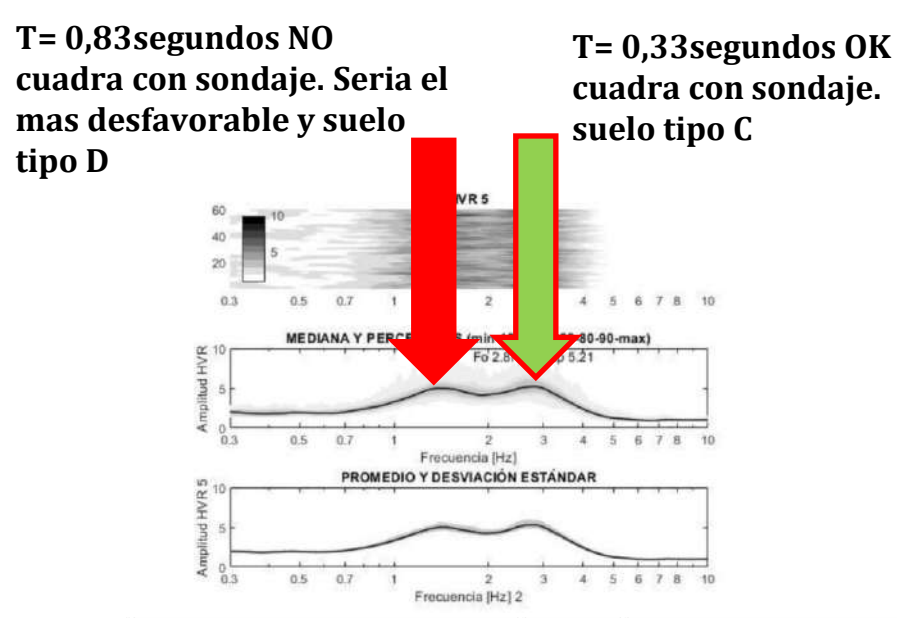












	Suelo Tipo	V _{s30} [m/s]	Tg [s]	
Α	Roca, suelo cementado	≥ 900	< 0,15 (o H/V plano)	
В	Roca blanda o fracturada, suelo muy denso o muy firme	≥ 500	< 0,30 (o H/V plano)	
С	Suelo denso o firme	≥ 350	< 0,40 (o H/V plano)	
D	Suelo medianamente denso, o firme	≥ 180	< 1,00	
Е	Suelo de compacidad, o consistencia mediana	< 180		





Figura 14 - Ejemplo curva H/V con único peak

II. Curva de múltiples peaks: Este tipo de curva se define para sitios que presentan más de una frecuencia peak. Los múltiples peaks pueden o no cumplir con los criterios de peak claro, de lo cual se puede generalizar lo siguiente:

Vencimiento consulta pública: 2024.12.11

29



F307-01-15v03

PROYECTO DE NORMA EN CONSULTA PÚBLICA - prNCh3793

- Se considera la frecuencia predominante (f₀) como la menor entre los múltiples peaks que cumplen con al menos tres de las seis verificaciones de 7.2.2.2 (criterios de peak claro) (p.e., Figura 15a).
- Para el caso excepcional en el que sólo un peak de los identificados sea considerado peak claro (según 7.2.2.2), éste se considera como la frecuencia predominante del sitio (f₀) (por ejemplo, Figura 15b)

